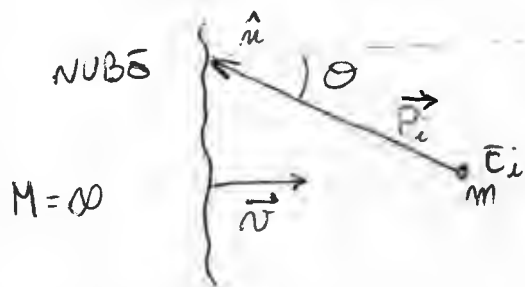


## Accelerazione ad meccanismo di Fermi

- particelle distribuite in modo isotropo
- nube che si sposta a velocità  $v \ll c$

Nel s.d.r. della galassia si ha



supponiamo la particella ultrarelativistica:  $v_i \approx c$

Spostandoci al s.d.r. della nube, che è anche il sistema del centro di massa:

$$E_i^* = \gamma (E_i + \beta c p_i \cos\theta) \quad (\text{c'è il + perché le due velocità sono opposte in verso})$$

$$c p_{i||}^* = \gamma (c p_i \cos\theta + \beta E_i)$$

dove  $\beta = v/c$  e  $\gamma = \frac{1}{\sqrt{1-\beta^2}}$  - Nel sistema del centro di massa l'urto è elastico:

$$E_f^* = E_i^*$$

$$p_{f||}^* = p_{i||}^*$$

Riportiamo  $E_f^*$  e  $p_{f||}^*$  nel s.d.r. della galassia:

$$E_f = \gamma (E_f^* + \beta c p_{f||}^*) = \gamma [\gamma (E_i + \beta c p_i \cos\theta) + \beta \gamma (c p_i \cos\theta + \beta E_i)]$$

$$E_f = \gamma^2 E_i (1 + \beta c \frac{p_i}{E_i} \cos\theta + \beta^2)$$

$$\gamma^2 \approx 1 + \beta^2 \quad (\text{sviluppo di } \frac{1}{1-\beta^2})$$

$$E_f \approx E_i (1 + \beta^2) (1 + \beta c \frac{p_i}{E_i} \cos\theta + \beta^2)$$

$\beta \ll 1 \Rightarrow$  tutto i termini superiori al 2° ordine:

$$E_f \approx E_i (1 + \beta^2 + \beta^2 + 2\beta c \frac{p_i}{E_i} \cos\theta)$$

$$\boxed{\frac{\Delta E}{E} = \frac{E_f - E_i}{E_i} \approx 2\beta^2 + 2\beta \beta_p \cos\theta}$$

$\rightarrow$  nel caso ultrarelativistico il  $\beta_p$  della particella vale 1

e l'espressione dipende solo dal moto della nube e dall'angolo di impatto -

Quello che voglio ottenere è lo spettro, descritto da  $E^{-\alpha}$  con  $\alpha=2.7$  fino al ginocchio e  $\alpha=3$  dopo. Siccome la distribuzione di particelle nello spazio è supposta isotropa, calcolo  $\langle \frac{\Delta E}{E} \rangle$  mediando in  $\cos\theta$ .

Ma anche il rate d'interazione particella-nube ha dipendenza da  $\theta$ :  $R \propto 1 + \beta \cos\theta \Rightarrow$  devo usare questa forma come peso -

$$\begin{aligned} \langle 2\beta\beta_p \cos\theta \rangle &= 2\beta\beta_p \frac{\int_{-1}^1 x(1+\beta x) dx}{\int_{-1}^1 (1+\beta x) dx} = 2\beta\beta_p \frac{\int_{-1}^1 (x+\beta x^2) dx}{2+\beta \int_{-1}^1 x dx} = \\ &= 2\beta\beta_p \frac{[\frac{1}{2}x^2]_{-1}^1 + \beta[\frac{1}{3}x^3]_{-1}^1}{2+\beta[\frac{1}{2}x^2]_{-1}^1} = 2\beta\beta_p \frac{2/3\beta}{2} = \\ &= \frac{2}{3}\beta^2\beta_p = \frac{2}{3}\beta^2 \text{ nel limite ultrarelativistico} \end{aligned}$$

Quindi:

$$\langle \frac{\Delta E}{E} \rangle = \langle 2\beta^2 \rangle + \langle 2\beta \cos\theta \rangle = \left(2 + \frac{2}{3}\right)\beta^2 = \frac{8}{3}\beta^2$$

$\Delta E = \frac{8}{3}\beta^2 E \equiv \xi E$  N.B.  $\xi$  dipende dalla nube attraversata. Per calcolare lo spettro devo tener conto che la particella può urtare varie nubi.

$P_f$  = probabilità di fuga, cioè prob. che dopo un urto qualsiasi la particella esca dalla regione delle nubi

$(1 - P_f)^n$  = probabilità che dopo  $n$  urti la particella sia ancora nella regione delle nubi.

Dopo  $n$  urti:

$$E_n - E_{n-1} = \xi E_{n-1} = \xi(1+\xi)E_{n-2} \Rightarrow E_n = (1+\xi)^n E_0$$

$$\log\left(\frac{E_n}{E_0}\right) = n \log(1+\xi) \Rightarrow n(E_n) = \frac{\log(E_n/E_0)}{\log(1+\xi)}$$

Calcolo la cumulativa dello spettro, ovvero:

$$N(E \geq E_n) = \sum_{i=n}^{\infty} (1 - P_f)^i N_{TOT} = N_{TOT} \frac{(1 - P_f)^n}{1 - (1 - P_f)} = \frac{N_{TOT}}{P_f} (1 - P_f)^n$$

$$\log N(E \geq E_n) = n \log(1 - P_f) + \log(N_{TOT}/P_f) = \frac{\log(E_n/E_0) \log(1 - P_f)}{\log(1 + \xi)} + \log\left(\frac{N_{TOT}}{P_f}\right)$$

$$\equiv -\gamma \log\left(\frac{\bar{E}_n}{E_0}\right) + k \Rightarrow N(E \geq \bar{E}_n) = k \left(\frac{\bar{E}_n}{E_0}\right)^{-\gamma}$$

che è la forma cercata. Infatti, differenziando:

$$\frac{dN}{dE} = k' E^{-(\gamma+1)}$$

$$\gamma = -\frac{\log(1-p)}{\log(1+s)} \approx \frac{p}{s}$$

Questo modello non è convincente, perché l'esponente dipende da quale zona di galassia le particelle attraversano prima di arrivare da noi, e non c'è riscontro sperimentale.

## FLUIDO DINAMICA

teorema della divergenza

Eq. di continuità:  $\frac{\partial}{\partial t} \int_V \rho dV = - \int_S \rho \vec{v} \cdot \hat{n} dS = - \int_V \rho \vec{\nabla} \cdot \vec{v} dV$

Scritte in modo generale anziché locale:

$$\boxed{\frac{\partial \rho}{\partial t} + \vec{\nabla} \cdot (\rho \vec{v}) = 0}$$

La forza agente sul fluido è data dalla pressione:  $\vec{F} = - \int_S p \hat{n} dS = - \int_V \vec{\nabla} p dV$

$$- \int_V \vec{\nabla} p dV \equiv m \vec{a} = \int_V \rho \frac{d\vec{v}}{dt} dV \Rightarrow \boxed{\rho \frac{d\vec{v}}{dt} = - \vec{\nabla} p}$$

Separo le derivate:

$$d\vec{v} = \frac{\partial \vec{v}}{\partial t} dt + dx \frac{\partial \vec{v}}{\partial x} + dy \frac{\partial \vec{v}}{\partial y} + dz \frac{\partial \vec{v}}{\partial z}$$

$$\frac{d\vec{v}}{dt} = \frac{\partial \vec{v}}{\partial t} + \frac{dx}{dt} \frac{\partial \vec{v}}{\partial x} + \frac{dy}{dt} \frac{\partial \vec{v}}{\partial y} + \frac{dz}{dt} \frac{\partial \vec{v}}{\partial z} = \frac{\partial \vec{v}}{\partial t} + (\vec{v} \cdot \vec{\nabla}) \vec{v}$$

Equazione di Eulero

$$\boxed{\frac{\partial \vec{v}}{\partial t} + (\vec{v} \cdot \vec{\nabla}) \vec{v} = - \frac{1}{\rho} \vec{\nabla} p}$$

$\mu$  = potenziale chimico

$$C_v = \frac{g}{2} R$$

$g$  = numero di gradi di libertà

$n$  = numero di moli

$$R \equiv N_A k$$

A volume costante:  $dQ = dU + p dV \rightarrow dQ = dU \equiv \mu c_v dT = \frac{g}{2} R dT$

A pressione costante:  $dQ = dU + p dV \equiv \mu c_p dT = \mu c_v dT + p dV$

Equazione di stato dei gas perfetti:  $pV = \mu RT \Rightarrow p dV = \mu R dT$  a  $p$  cost.

$$\Rightarrow dQ = \mu c_v dT + \mu R dT \equiv \mu c_p dT$$

$$\Rightarrow \boxed{C_p = C_v + R}$$

Def.:  $\gamma \equiv \frac{C_p}{C_v} = 1 + R/C_v = \frac{5}{3}$  (monatomico),  $\frac{7}{5}$  (biatomico), ...

$$\boxed{\gamma = \frac{g}{2} + 1}$$

Consideriamo un gas perfetto che subisce trasformazioni adiabatiche

$$\Rightarrow dQ = 0 \Rightarrow dU = -p dV = \mu c_v dT \Rightarrow c_v = -p dV / \mu dT, \quad dT = -p dV / \mu c_v$$

$$\boxed{dQ = dU + p dV = 0 \Rightarrow dU = -p dV}$$

$$\boxed{pV = \mu RT} \Rightarrow p dV + V dp = \mu R dT = -\mu R \frac{p dV}{\mu c_v}$$

$$p dV \left(1 + \frac{R}{c_v}\right) + V dp = 0 \quad \gamma p dV + V dp = 0$$

Divido per  $VP$ :  $\gamma \frac{dV}{V} + \frac{dP}{P} = 0 \Rightarrow \gamma \log V + \log P = \text{costante}$

Esponenziamo:  $\boxed{P \cdot V^\gamma = \text{costante}}$  gas perfetto in trasformazione adiabatica ( $dQ = 0$ )

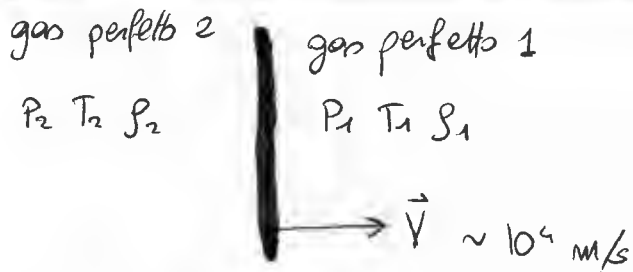
$$P \propto V^{-\gamma} \Rightarrow P \propto \rho^\gamma$$

La velocità di una onda nel mezzo è data da:  $v^2 = \left. \frac{\partial P}{\partial \rho} \right|_{dQ=0}$   
(perturbazione adiabatica in un fluido perfetto)

$$v^2 = \left. \frac{\partial [A \rho^\gamma]}{\partial \rho} \right|_{dQ=0} = \frac{P \gamma}{\rho} \Rightarrow \boxed{v = \sqrt{\gamma \frac{P}{\rho}}}$$

$\rho^{\gamma-1} \propto \frac{P}{\rho}$

# Accelerazione da fronte di shock



ENTALPIA = quantità di energia libera di un sistema a  $p$  ed  $S$  costanti.

- solo  $P$  cost.:  $\Delta h = \Delta Q$
- $P, V$  cost.:  $\Delta h = Q - \Delta U$

Condizioni di shock:

- conservazione massa:  $\rho_1 v_1 = \rho_2 v_2 \equiv J$
- conservazione energia:  $\rho_1 v_1 \left( \frac{1}{2} v_1^2 + h_1 \right) = \rho_2 v_2 \left( \frac{1}{2} v_2^2 + h_2 \right)$
- conservazione impulso:  $p_1 + \rho_1 v_1^2 = p_2 + \rho_2 v_2^2$

$v$  = volume per unità di massa  $\Rightarrow \rho v = 1 \Rightarrow v_i = J \rho_i$

$$\gamma = \frac{C_p}{C_v} = 1 + \frac{R}{C_v}$$

L'entalpia per un gas perfetto vale: (usando  $pV = \mu RT$ )

$$h = \varepsilon + pV = \underbrace{\mu C_v T + \mu RT}_Q = \frac{C_v pV}{R} + pV = pV \left( 1 + \frac{C_v}{R} \right) = \frac{\gamma}{\gamma - 1} pV = \frac{h}{\rho}$$

La conservazione dell'energia diventa:

$$\frac{1}{2} J^2 v_1^2 + \frac{\gamma}{\gamma - 1} P_1 V_1 = \frac{1}{2} J^2 v_2^2 + \frac{\gamma}{\gamma - 1} P_2 V_2$$

Dalla conservazione dell'impulso:

$$P_1 + J^2 v_1 = P_2 + J^2 v_2 \quad P_1 - P_2 = J^2 (v_2 - v_1) \Rightarrow J^2 = \frac{P_1 - P_2}{v_2 - v_1} = \frac{P_2 - P_1}{v_1 - v_2}$$

$$J^2 = [\dots] = \frac{P_2 (\gamma + 1) + P_1 (\gamma - 1)}{2 v_1}$$

Queste espressioni sono simmetriche sotto scambio di indici.

$$\Rightarrow v_1^2 = J^2 v_1^2 = \frac{v_1}{2} [P_2 (\gamma + 1) + P_1 (\gamma - 1)]$$

Chiamando  $c_i$  la velocità di propagazione delle onde meccaniche nel mezzo  $i$ , ovvero  $c_i^2 = \gamma \frac{P_i}{\rho_i}$ , si definisce il

Numero di Mach

$$M_1^2 = \left( \frac{v_1}{c_1} \right)^2 = \frac{\rho_1 v_1^2}{\gamma P_1}$$

In termini di questo:  $\frac{P_2}{P_1} = \frac{2\gamma M_1^2 + 1 - \gamma}{1 + \gamma}$

$$\frac{P_2}{P_1} = \frac{v_1}{v_2} = \frac{1 + \gamma}{(\gamma - 1) + 2/M_1^2}$$

Il fronte d'urto si muove a velocità molto più alta rispetto ai tempi d'interazione delle particelle nel mezzo  $\Rightarrow$  possiamo volutarci

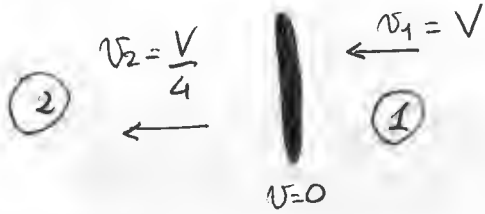
il limite  $M_1 \rightarrow \infty$ : per un gas monoatomico,

$$\lim_{M_1 \rightarrow \infty} \frac{P_2}{P_1} = \frac{1 + \gamma}{\gamma - 1} = \frac{1 + 5/3}{5/3 - 1} = 4$$

TUTTA QUESTA FLUIDODINAMICA  
SERVIVA A RICAVARE  
QUESTO 4

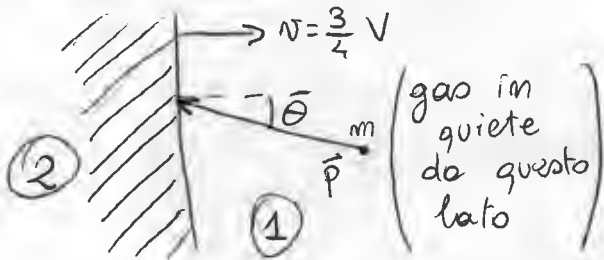
Per la conservazione della massa.  $\rho_1 v_1 = \rho_2 v_2 \Rightarrow \frac{\rho_2}{\rho_1} = \frac{v_1}{v_2} \xrightarrow{M_1 \rightarrow \infty} 4$

Nel sistema di riferimento solidale al fronte di shock.



La velocità relativa tra i due gas vale  $\frac{3}{4}v$  in ogni s.d.r.

Vediamo l'energia acquistata da una particella <sup>relativistica</sup> passata da ① a ② e viceversa:



$$E^* = \gamma (E + \beta p c \cos \theta)$$

$\gamma, \beta$  del fronte.  $\leftarrow$  velocità del fronte di shock

Tipicamente  $v \ll c \Rightarrow \gamma \approx 1$

$$\Rightarrow E^* \approx E + E \beta \cos \theta \quad (p \approx E)$$

$$\Rightarrow \frac{\Delta E}{E} \approx \beta \cos \theta$$

Mediando sulla distribuzione isotropa di particelle. (N.B.: mediana in  $1 + \cos \theta =$  mediana in  $\cos \theta$ , l'1 non contribuisce perché da origine ad un termine dispari)

$$\langle \frac{\Delta E}{E} \rangle = \beta \frac{\int_0^1 \cos^2 \theta d \cos \theta}{\int_0^1 \cos \theta d \cos \theta} = \frac{2}{3} \frac{v}{c} = \frac{2}{3} \frac{3}{4} \frac{v}{c} = \frac{v}{2c}$$

$\leftarrow$  vel. del fronte

Per un doppio attraversamento  $\langle \frac{\Delta E}{E} \rangle = \frac{v}{c}$

Rate particelle che attraversano il fronte:  $\frac{1}{4\pi} \int_0^{2\pi} d\phi \int_0^1 \cos \theta d \cos \theta = \frac{c}{4} \Rightarrow P_f = \frac{v}{c}$

Rate particelle che si allontanano senza ritraversare il fronte:  $\frac{v}{4}$

Distribuzione in energia particelle accelerate:

$$\frac{dN}{dE} = K E^{-(\gamma+1)} = K E^{-\left(\frac{P_f}{S} + 1\right)} \quad (N(E \geq \bar{E}) = K E^{-\gamma})$$

$$P_f = \frac{v}{c} \quad S = \frac{v}{c}$$

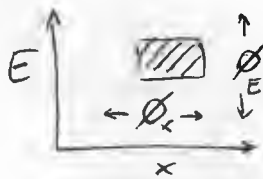
$\frac{dN}{dE} = K E^{-2}$  Meccanismo di Fermi del primo tipo

In questo schema:

- accelerazione dell'ordine di  $10^{14}$  eV (shock da SN  $\sim 10^5$  anni)
- problema dell'iniezione (le particelle devono essere già relativistiche)
- giusta densità di energia dei cosmici ( $\sim 1$  MeV/m<sup>3</sup>)
- $\gamma = 2 \neq 2.7$

## Trasporto dei raggi cosmici

Consideriamo una porzione di spazio delle fasi associato ad uno spazio 1-D:



La variazione del numero di occupanti di questo volumetto è data da:

$$\frac{\partial n(E, x, t)}{\partial t} \Delta E \Delta x = [\phi_x(E, x, t) - \phi_x(E, x + \Delta x, t)] \Delta E + [\phi_E(E, x, t) - \phi_E(E + \Delta E, x, t)] \Delta x + Q(E, x, t) \Delta E \Delta x$$

dove  $Q$  rappresenta il contributo di sorgenti esterne.

$$\frac{\partial n(E, x, t)}{\partial t} \Delta E \Delta x = - \frac{\partial \phi_x}{\partial x} \Delta E \Delta x - \frac{\partial \phi_E}{\partial E} \Delta E \Delta x + Q(E, x, t) \Delta E \Delta x$$

$\phi_E = n \frac{dE}{dt} \equiv -n b(E)$  dove  $b(E)$  rappresenta la perdita di energia di un tipo di particella

$$\boxed{\frac{\partial n}{\partial t} = - \frac{\partial \phi_x}{\partial x} + \frac{\partial [n b(E)]}{\partial E} + Q}$$
 Scrittura generale

Consideriamo un GAS di particelle.  $\phi_x \equiv -D \frac{\partial n}{\partial x}$

$D =$  coefficiente di diffusione

Generalizzando allo spazio 3-D è naturale ottenere:

$$\boxed{\frac{\partial n}{\partial t} = D \nabla^2 n + \frac{\partial [n b(E)]}{\partial E} + Q}$$

MODELLO LEAKY BOX:  $D \nabla^2 n \rightarrow -\frac{n}{\tau_F}$  ( $\tau_F$  tempo di fuga dalla galassia)

Considerando l'accelerazione da supernova:  $b(E) = -\alpha E$ ,  $\alpha > 0$

Cerco soluzioni stazionarie:

$$0 = \frac{\partial (-n \alpha E)}{\partial E} - \frac{n}{\tau_F} = -\frac{n}{\tau_F} - \alpha n - \alpha E \frac{\partial n}{\partial E} \Rightarrow \frac{\partial n}{\partial E} = -\frac{1}{\alpha E} \left( \frac{n}{\tau_F} + \alpha n \right)$$

$$\frac{\partial n}{\partial E} = -\frac{n}{E} \left( 1 + \frac{1}{\alpha \tau_F} \right) = -\frac{n}{E} \left( 1 + \frac{P_F}{S} \right) \Rightarrow n(E) \propto E^{-\left( 1 + \frac{P_F}{S} \right)}$$

# Modello di trasporto + spallazione

Cambio variabile:  $t \rightarrow \xi = \rho c t \text{ [g/cm}^2\text{]}$

Assunzioni:

- tutti i RE viaggiano per lo stesso tempo  $t$

- " " " a  $v=c$

- densità costante di protoni  $\rho$  nello spazio interstellare

Trascuriamo il termine di fuga  $-\frac{n}{\xi} \dots$  e consideriamo RE già accelerati ( $Q=0, \frac{\partial n}{\partial E}=0$ ) - Rimane:

$$\frac{\partial n}{\partial \xi} = -\frac{n}{\xi_{E,S}} + \sum_{K>E} \frac{n_K}{\xi_{K,S}} P(K \rightarrow E)$$

dove  $E$  rappresenta l'elemento preso in considerazione, e  $K$  gli elementi più pesanti di  $E$ . Conviene dividere in gruppi le particelle:

- elem. leggeri (L)  $\equiv Li, Be, B$

- elem. pesanti (M)  $\equiv C, N, O$

$$\Rightarrow \begin{cases} \frac{\partial n_L}{\partial \xi} = -\frac{n_L}{\xi_{L,S}} + P_{M \rightarrow L} \frac{n_M}{\xi_{M,S}} \\ \frac{\partial n_M}{\partial \xi} = -\frac{n_M}{\xi_{M,S}} \end{cases}$$

$$\Rightarrow n_M(\xi) = n_{M_0} e^{-\xi/\xi_M}$$

$$\frac{\partial n_L}{\partial \xi} + \frac{n_L}{\xi_L} = P_{ML} \frac{n_{M_0}}{\xi_M} e^{-\xi/\xi_M} \quad \text{Moltiplico a dx e sx per } e^{\xi/\xi_L}:$$

$$\frac{\partial}{\partial \xi} [n_L e^{\xi/\xi_L}] = \frac{P_{ML} n_{M_0}}{\xi_M} e^{-(\xi/\xi_M - \xi/\xi_L)}$$

La cui soluzione è:

$$n_L(\xi) = \frac{n_{M_0} P_{ML} \xi_L}{\xi_L - \xi_M} \left( e^{-\xi/\xi_L} - e^{-\xi/\xi_M} \right)$$

Tramite la misura di  $\frac{n_L(\xi)}{n_M(\xi)}$ , conoscendo le lunghezze d'interazione, si ottiene  $\xi \approx 5 \text{ g/cm}^2$ .

Reintroduciamo le possibilità che il nucleo esca dalla galassia:

$$-\frac{n_L}{\xi_L} + P_{ML} \frac{n_M}{\xi_M} - \frac{n_L}{\xi_f} = 0 \Rightarrow n_L \left( \frac{1}{\xi_L} + \frac{1}{\xi_f} \right) = P_{ML} n_M \frac{1}{\xi_M}$$

$$\Rightarrow \frac{n_L(E)}{n_M(E)} \approx \frac{P_{ML}}{\xi_M} \xi_f(E) \quad (\text{perché } \xi_L \gg \xi_f)$$

$$\text{Si misura: } \xi_f(E) \approx E^{-\delta}, \quad \delta \approx 0.6$$

Per i nuclei pesanti:

$$-\frac{n_M}{\xi_M} - \frac{n_M}{\xi_f} + Q(E) = 0 \Rightarrow \begin{cases} \xi_M \gg \xi_f \\ n_M \approx Q(E) \xi_f \end{cases}$$

Introducendo il modello precedente  $Q(E) \sim E^{-(1+\gamma)} = E^{-2}$ :

$$n_M(E) \approx E^{-2} E^{-0.6} = E^{-2.6} \approx E^{-2.7} = \text{spettro osservato.}$$



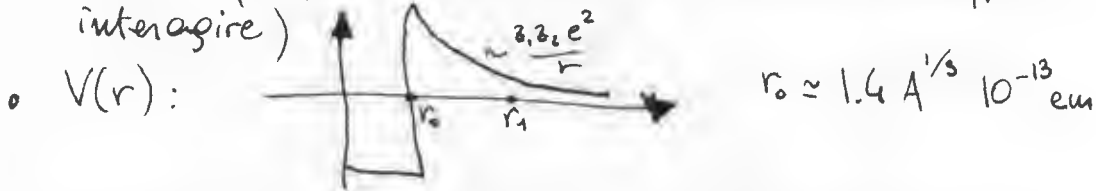
# Produzione di neutrini solari

Prima fusione:  $pppp \rightarrow {}^4\text{He} + 2e^+ + 2\nu_e$

La % di energia che si trasforma in radiazione è  $B.E.({}^4\text{He})/4mp \approx 7\%$ .  
 B.E./A per l'elio non è massima (lo è per il ferro), ma si produce molto più facilmente elio che ferro  $\Rightarrow$  questo è il contributo principale.

Sistema protone-protone:

- onda  $S$  (le funzioni d'onda devono essere sovrapponibili per poter interagire)



La probabilità di superare la barriera di potenziale per agitazione termica vale  $\frac{z_1 z_2 e^2}{8kT}$

$P \sim e^{-\frac{z_1 z_2 e^2}{8kT}} \sim 10^{-400}$  stimando la temperatura al centro del sole  $\sim 10^7 \text{ K}$ .  
 $\Rightarrow$  la barriera si passa solo per effetto tunnel.

$$P = e^{-2 \int_{r_0}^{r_1} \sqrt{\frac{2m}{\hbar^2} [V(r) - E]} dr} \quad r_1 = r_1(E) \quad E \text{ fissata} \quad r_1 = \frac{z_1 z_2 e^2}{E}$$

$$= e^{-\pi \sqrt{\frac{2m(z_1 z_2 e^2)^2}{\hbar^2 E}}} = e^{-\sqrt{\frac{E_G}{E}}}$$

Energia di Gamow

$$E_G = \frac{2m(z_1 z_2 e^2)^2 \pi^2}{\hbar^2}$$

La sezione d'urto del processo si stima in generale con  $\sigma(E) = \frac{S(E)}{E}$ , con  $S(E) \equiv$  "fattore astrofisico", misurabile ad alte energie ed estrapolabile ad energie più basse.

Supponiamo le particelle distribuite Maxwellianamente in energia:

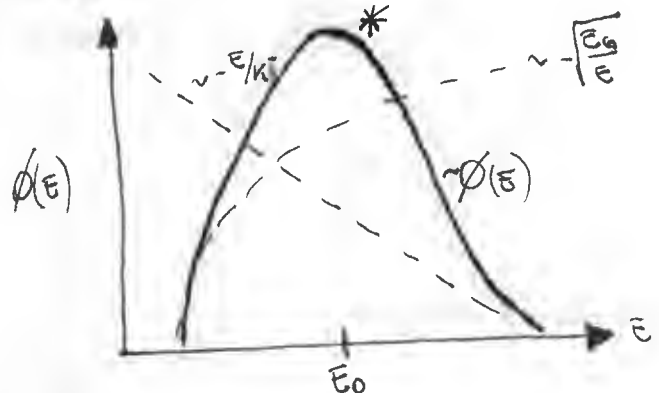
$$f(E) = \frac{2}{\sqrt{\pi}} \frac{\sqrt{E}}{(kT)^{3/2}} e^{-E/kT}$$

Il rate di produzione di neutrini al variare della temperatura sarà dato allora da:

$$R(T) = \int_0^\infty \sigma(E) N f(E) e^{-\sqrt{\frac{E_G}{E}}} dE = \int_0^\infty \frac{S(E)}{E} \sqrt{\frac{2E}{m}} \frac{2}{\pi} \frac{\sqrt{E}}{(kT)^{3/2}} e^{-\left(\frac{E}{kT} + \sqrt{\frac{E_G}{E}}\right)} dE$$

Definendo:  $\phi(E) \equiv -\left(\frac{E}{kT} + \sqrt{\frac{E_G}{E}}\right)$

\* picco di Gamow



risultato:  $R(T) = \frac{2}{\pi} \sqrt{\frac{2}{m}} (kT)^{-3/2} \int_0^{\infty} dE S(E) e^{\phi(E)}$

la dipendenza più forte dall'energia sta in  $e^{\phi(E)}$ , che è una funzione piccata attorno al punto per cui:

$$\frac{d\phi(E)}{dE} = -\frac{1}{kT} + \frac{\sqrt{E_G}}{2E^{3/2}} = 0 \Rightarrow E_0 \equiv E_G^{1/3} \left(\frac{kT}{2}\right)^{2/3}$$

posizione del picco di Gamow

Valutiamo quindi  $S(E)$  in  $E_0$  e consideriamola costante rispetto ad  $e^{\phi(E)}$ , e sviluppiamo  $e^{\phi(E)}$  al second'ordine attorno ad  $E_0$ .

$$\phi(E_0) = -\frac{3E_0}{kT} \equiv -\tau$$

$$\left. \frac{d^2\phi(E)}{dE^2} \right|_{E=E_0} = -\frac{3}{4} \sqrt{E_G} E_0^{-5/2} = -\frac{\tau}{2E_0^2}$$

Esponendo:  $\phi(E) \approx \phi(E_0) + \frac{1}{2} (E-E_0)^2 \frac{d^2\phi(E)}{dE^2} = -\tau - \frac{1}{2} (E-E_0)^2 \frac{\tau}{2E_0^2}$

$$R(T) = \text{costante} \cdot \int_0^{\infty} dE e^{-(E-E_0)^2 \frac{\tau}{4E_0^2}} = \text{costante} \cdot \sqrt{\pi}$$

↳ rispetto ad E

Vogliamo esplicitare la dipendenza da  $\tau$  e dalla temperatura.

$$R(T) = \text{costante} \cdot \frac{1}{(kT)^{3/2}} \frac{2E_0}{\sqrt{\tau}} e^{-\tau}$$

•  $E_0 \propto (kT)^{2/3}$

•  $\tau \propto \frac{E_0}{kT} \propto (kT)^{-1/3}$  }  $\Rightarrow R(T) \propto T^2 e^{-\tau}$

Voglio passare ad una forma  $R(T) \propto T^\nu$  dove in  $\nu$  ci può essere una piccola dipendenza da  $T$ .

$$R(T) \propto T^\nu \Rightarrow \ln R = c + \nu \ln T \Rightarrow \nu = \frac{\partial \ln R}{\partial \ln T}$$

$$R \propto T^{-2/3} e^{-\tau} \Rightarrow \ln R = c - \frac{2}{3} \ln T - \tau$$

$$\tau \propto T^{-1/3} \Rightarrow \ln \tau = c_1 - \frac{1}{3} \ln T$$

$$\frac{\partial \ln R}{\partial \ln T} = -\frac{2}{3} - \frac{\partial \tau}{\partial \ln T} = -\frac{2}{3} - \tau \frac{\partial \ln \tau}{\partial \ln T} = -\frac{2}{3} - \frac{\tau}{3} = \nu$$

$$R(T) \propto T^{-\left(\frac{2}{3} + \frac{\tau}{3}\right)} \equiv T^\nu$$

N.B.: l'errore che commetto nello stimare  $R$  dipende da  $\nu$ , che a sua volta dipende da  $z_1$  e  $z_2$ .

$$\frac{\Delta R}{R} = \nu \frac{\Delta T}{T}$$

Più aumentano gli  $z$  dei nuclei che partecipano alla fusione, più precisamente è necessario misurare la temperatura.

# OSCILLAZIONE DEI NEUTRINI NELLA MATERIA

Pontecorvo nel 1957 ipotizzò che i neutrini potessero cambiare sapore leptonic, in seguito all'osservazione di un deficit di neutrini  $\nu_e$  solari in arrivo sulla Terra.

- Matrice di interazione con autostati  $\nu_e, \nu_\mu, \nu_\tau$
- Matrice di massa / evol. temporale con autostati  $\nu_1, \nu_2, \nu_3$

In 2 dimensioni l'ipotesi più semplice è:

$$\begin{pmatrix} \nu_1 \\ \nu_2 \end{pmatrix} = U \begin{pmatrix} \nu_e \\ \nu_\mu \end{pmatrix} \quad U = \begin{pmatrix} \cos\theta & \sin\theta \\ -\sin\theta & \cos\theta \end{pmatrix}$$

$$\begin{pmatrix} \nu_e \\ \nu_\mu \end{pmatrix} = U^{-1} \begin{pmatrix} \nu_1 \\ \nu_2 \end{pmatrix} \quad U^{-1} = \begin{pmatrix} \cos\theta & -\sin\theta \\ \sin\theta & \cos\theta \end{pmatrix}$$

Produzione:  $\nu_e$  prodotto nel sole a  $t=0$ :

$$V(0) = \nu_e = \cos\theta \nu_1 - \sin\theta \nu_2$$

Trasporto:  $\nu_1$  e  $\nu_2$  sono autostati di  $H$  e in quanto

tali evolvono nel tempo con fasi date dalle loro energie:

$$\begin{aligned} V(t) &= e^{-\frac{iHt}{\hbar}} (\cos\theta \nu_1 - \sin\theta \nu_2) = \\ &= \cos\theta e^{-\frac{iE_1 t}{\hbar}} \nu_1 - \sin\theta e^{-\frac{iE_2 t}{\hbar}} \nu_2 = \\ &= \cos\theta e^{-\frac{iE_1 t}{\hbar}} (\cos\theta \nu_e + \sin\theta \nu_\mu) - \sin\theta e^{-\frac{iE_2 t}{\hbar}} (-\sin\theta \nu_e + \cos\theta \nu_\mu) \\ &= \left( e^{-\frac{iE_1 t}{\hbar}} \cos^2\theta + e^{-\frac{iE_2 t}{\hbar}} \sin^2\theta \right) \nu_e + \left( e^{-\frac{iE_1 t}{\hbar}} - e^{-\frac{iE_2 t}{\hbar}} \right) \cos\theta \sin\theta \nu_\mu \end{aligned}$$

Rivelazione: nel disegno a 2 dimensioni la probabilità di scomparsa del  $\nu_e$  è uguale alla probabilità di comparsa del  $\nu_\mu$ :

$$\begin{aligned} |\langle \nu_\mu | V(t) \rangle|^2 &= \left| \left( e^{-\frac{iE_1 t}{\hbar}} - e^{-\frac{iE_2 t}{\hbar}} \right) \cos\theta \sin\theta \right|^2 = \\ &= \frac{\sin^2(2\theta)}{4} \left[ 2 - \left( e^{i\left(\frac{E_1 t}{\hbar} - \frac{E_2 t}{\hbar}\right)} + e^{-i\left(\frac{E_1 t}{\hbar} - \frac{E_2 t}{\hbar}\right)} \right) \right] = \\ &= \frac{\sin^2(2\theta)}{4} \left[ 2 - 2 \cos\left(\frac{E_1 t}{\hbar} - \frac{E_2 t}{\hbar}\right) \right] = \\ &= \sin^2(2\theta) \sin^2 \left[ \frac{(E_1 - E_2)t}{2\hbar} \right] \end{aligned}$$

Tenendo conto che i neutrini sono relativistici:

$$E_2 - E_1 = pc \left( \sqrt{1 + \frac{m_2^2 c^2}{p^2}} - \sqrt{1 + \frac{m_1^2 c^2}{p^2}} \right) \approx pc \left[ \left( 1 + \frac{m_2^2 c^2}{2p^2} \right) - \left( 1 + \frac{m_1^2 c^2}{2p^2} \right) \right]$$

$$= \frac{(m_2^2 - m_1^2) c^3}{2p} \equiv \frac{\Delta m^2 c^4}{2E}$$

Risulta:

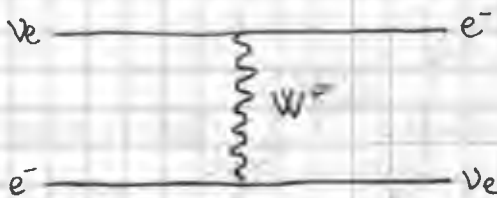
$$|\langle \nu_\mu | \nu(t) \rangle|^2 = \sin^2(2\theta) \sin^2 \left( \frac{\Delta m^2 [\text{eV}^2] L [\text{m}]}{4 E [\text{MeV}]} \cdot 1,27 \right)$$

con l'argomento del  $\sin^2$  adimensionale.

- $\Delta m^2$  grande  $\Rightarrow P(\nu_\mu) \rightarrow \frac{1}{2} \sin^2(2\theta)$
- $\Delta m^2$  piccolo  $\Rightarrow P(\nu_\mu) \rightarrow \Delta m^2 \sin^2(2\theta)$
- Sensibilità a  $\Delta m^2 \approx 1,27 E/L [\text{eV}^2]$

Tutto questo vale per neutrini che viaggiano nel vuoto.

Nel tragitto tra il punto di produzione all'interno del sole ed il punto in cui vengono rivelati, i neutrini elettronici possono interagire in corrente carica con gli elettroni della materia:



l'ampiezza in avanti di questo processo è

$$\sigma \approx \sqrt{2} G_F n_e$$

dove  $n_e$  = densità di  $e^-$  nel mezzo

Nel vuoto:

$$i \frac{d}{dt} \begin{pmatrix} \nu_e \\ \nu_\mu \end{pmatrix} = U H U^{-1} \begin{pmatrix} \nu_e \\ \nu_\mu \end{pmatrix} \quad H = \begin{pmatrix} p^2 + \frac{m_1^2}{2p} & 0 \\ 0 & p^2 + \frac{m_2^2}{2p} \end{pmatrix}$$

Nella materia:

$$i \frac{d}{dt} \begin{pmatrix} \nu_e \\ \nu_\mu \end{pmatrix} = \tilde{H} \begin{pmatrix} \nu_e \\ \nu_\mu \end{pmatrix} \quad \tilde{H} = U H U^{-1} + \begin{pmatrix} \sqrt{2} G_F n_e & 0 \\ 0 & 0 \end{pmatrix}$$

$n_e$  cambia all'interno del sole  $\Rightarrow \tilde{H} = \tilde{H}(t)$  !

Le matrici dell'evoluzione temporale è cambiata  $\Rightarrow$  gli autostati di interazione sono gli stessi, ma

quelli di massa sono diversi da come erano nel vuoto!

$$\begin{pmatrix} \tilde{\nu}_1 \\ \tilde{\nu}_2 \end{pmatrix} = \tilde{U} \begin{pmatrix} \nu_e \\ \nu_\mu \end{pmatrix} \quad \tilde{U} = \begin{pmatrix} \cos \tilde{\theta} & \sin \tilde{\theta} \\ -\sin \tilde{\theta} & \cos \tilde{\theta} \end{pmatrix}$$

$$\tilde{U} i \frac{d}{dt} \tilde{U}^{-1} \begin{pmatrix} \tilde{\nu}_1 \\ \tilde{\nu}_2 \end{pmatrix} = \tilde{U} \tilde{H} \tilde{U}^{-1} \begin{pmatrix} \tilde{\nu}_1 \\ \tilde{\nu}_2 \end{pmatrix}$$

$\tilde{U}$  è la matrice che diagonalizza  $\tilde{H} \Rightarrow$  imponendo nulli gli elementi fuori diagonale otteniamo:

$$\boxed{\text{tg}(2\tilde{\theta}) = \frac{\Delta m^2 \sin(2\theta)}{\Delta m^2 \cos(2\theta) - 2p\sqrt{2}G_F n_e}}$$

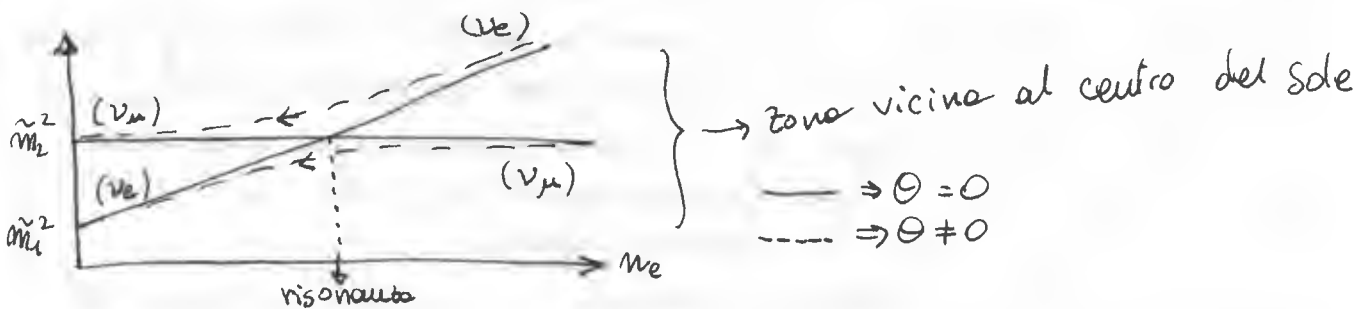
- condizione di RISONANZA MKW:  $\Delta m^2 \cos(2\theta) = 2p\sqrt{2}G_F n_e$   
 $\Rightarrow$  qualsiasi sia  $\theta$ , il mescolamento è massimo ( $\tilde{\theta} = \frac{\pi}{4}$ )

$$\tilde{U} i \frac{d}{dt} \tilde{U}^{-1} \begin{pmatrix} \tilde{\nu}_1 \\ \tilde{\nu}_2 \end{pmatrix} = i \begin{pmatrix} 0 & \dot{\tilde{\theta}} \\ -\dot{\tilde{\theta}} & 0 \end{pmatrix} \begin{pmatrix} \tilde{\nu}_1 \\ \tilde{\nu}_2 \end{pmatrix}$$

- condizione di adiabaticità:  $\dot{\tilde{\theta}} \ll |\tilde{m}_2^2 - \tilde{m}_1^2|$   
 $\Rightarrow$  l'equazione di Schrödinger è risolvibile analiticamente.  
 la condizione di risonanza la condizione di adiabaticità si traduce in:

$$\boxed{n_e \ll \frac{\Delta m^4 \sin^2(2\theta)}{2\sqrt{2}G_F p^2}} \quad (\text{condizione verificata nel sistema in esame})$$

In queste condizioni si ha

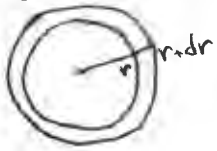


Alle risonanze la probabilità di oscillazione  $\nu_e \rightarrow \nu_\mu$  aumenta.

Questo modello spiega il flusso dei neutrini solari.

# STRUTTURA STELLARE E SUPERNOVAE

Stella all'equilibrio  $\Rightarrow$  pressione uguale ed opposta alla forza gravitazionale.



$$dF = 4\pi r^2 p(r) - 4\pi (r+dr)^2 p(r+dr) \approx 4\pi r^2 \left(-\frac{dp}{dr}\right) dr$$

$$dF = \frac{GM(r)dM}{r^2} = \frac{GM(r)}{r^2} 4\pi r^2 \rho(r) dr$$

$$\Rightarrow \frac{dp}{dr} = -\frac{\rho(r)M(r)}{r^2} G$$

Integrando si ottiene:

$$4\pi r^3 \frac{dp}{dr} = -4\pi r^3 G \frac{\rho(r)M(r)}{r^2} \Rightarrow 4\pi \int_0^R r^3 \frac{dp}{dr} dr = - \int_0^M G \frac{M(r)}{r} dm = \bar{E}_G$$

$$\Rightarrow p(r) 4\pi r^3 \Big|_0^R - \int_0^R p(r) 12\pi r^2 dr = \bar{E}_G \Rightarrow \bar{E}_G = -12\pi \int_0^R p(r) r^2 dr$$

(la pressione al bordo è nulla)

Considerando un gas perfetto in trasformazione adiabatica, usando il teorema del viriale si ottiene:

$$\bar{E}_G = -3 E_i (\gamma - 1) \Rightarrow \bar{E}_T = \bar{E}_G + E_i = (4 - 3\gamma) E_i$$

Per un gas monoatomico:  $\bar{E}_T = -E_i < 0 \Rightarrow$  stella STABILE, il calore specifico è negativo (aggiungo energia  $\Rightarrow$  diminuisce  $E_i \propto T$ ) - [...]

Massima massa che una stella può avere per essere mantenuta in equilibrio dalla pressione di degenerazione degli elettroni:

$$M_{\text{Ch}} = 1.39 M_{\odot} \quad \text{Massa di Chandrasekhar}$$

- SUPERNOVA DI TIPO 1: none bianche che hanno bruciato H ed He ma non C  $\Rightarrow$  collasso fino all'equilibrio  $\Rightarrow$  accrescimento massa ad es. da sistema binario  $\Rightarrow$  i v non riescono più a portare energia fuori dalla stella (interagiscono)  $\Rightarrow$  fonde il nucleo di C e la stella detona (Carbon flash).
- SUPERNOVA DI TIPO 2: stelle più massive, si immesca la polvere del ferro  $\Rightarrow$  collasso  $\Rightarrow$  aumento densità  $\Rightarrow$  aumento T, E fino a  $E_e \approx 1 \text{ MeV} \approx 10^{10} \text{ K}$  tale che sia possibile  $e^- + p \rightarrow n + \nu_e \Rightarrow$  si forma un nucleo compattissimo (non c'è più la pressione degli  $e^-$ ) di n, con una densità di  $1 \text{ n/fm}$ , e la parte esterna viene spazzata via durante il collasso, principalmente tramite reazioni tipo  $\gamma \rightarrow e^+ e^- \rightarrow \nu_x \bar{\nu}_x$ .

$$\Delta E = E_{\text{prima}} - E_{\text{dopo}} \approx -E_{\text{dopo}} = -\frac{3}{5} G \frac{M^2}{R_{\text{dopo}}} \sim -10^{46} \text{ J}$$

# RELATIVITA' GENERALE

- $dx'^{\mu}$  contravariante:  $dx'^{\mu} = \frac{\partial x'^{\mu}}{\partial x^{\nu}} dx^{\nu}$
- $dx'_{\mu}$  covariante:  $dx'_{\mu} = \frac{\partial x^{\nu}}{\partial x'_{\mu}} dx^{\nu}$

## PRINCIPIO DI EQUIVALENZA

In ogni punto di un campo gravitazionale arbitrario è possibile scegliere un sistema di coordinate locali tali che in un intorno di quel punto le leggi della fisica sono quelle della relatività ristretta (sistema inerziale)

Legge del moto in un sistema inerziale:

$\xi^{\mu}$  coordinate galileiane,  $\tau$  tempo proprio

$$\frac{d^2 \xi^{\mu}}{d\tau^2} = 0$$

Passiamo ad un s.d.r. qualsiasi ( $x^{\mu}$ ):

$$\frac{d\xi^{\mu}}{d\tau} = \frac{\partial \xi^{\mu}}{\partial x^{\nu}} \frac{dx^{\nu}}{d\tau} \quad \frac{d}{d\tau} \left( \frac{\partial \xi^{\mu}}{\partial x^{\nu}} \frac{dx^{\nu}}{d\tau} \right) = 0$$

$$\frac{\partial^2 \xi^{\mu}}{\partial x^{\rho} \partial x^{\nu}} \frac{dx^{\rho}}{d\tau} \frac{dx^{\nu}}{d\tau} + \frac{\partial \xi^{\mu}}{\partial x^{\nu}} \frac{d^2 x^{\nu}}{d\tau^2} = 0 \quad \text{Moltiplico a dx e dx per } \frac{\partial x^{\sigma}}{\partial \xi^{\mu}}:$$

$$\frac{\partial x^{\sigma}}{\partial \xi^{\mu}} \frac{\partial \xi^{\mu}}{\partial x^{\nu}} \frac{d^2 x^{\nu}}{d\tau^2} + \frac{\partial x^{\sigma}}{\partial \xi^{\mu}} \frac{\partial^2 \xi^{\mu}}{\partial x^{\rho} \partial x^{\nu}} \frac{dx^{\rho}}{d\tau} \frac{dx^{\nu}}{d\tau} = 0 \quad \frac{\partial x^{\sigma}}{\partial \xi^{\mu}} \frac{\partial \xi^{\mu}}{\partial x^{\nu}} = \delta^{\sigma}_{\nu}$$

$$\frac{d^2 x^{\sigma}}{d\tau^2} + \Gamma^{\sigma}_{\rho\nu} \frac{dx^{\rho}}{d\tau} \frac{dx^{\nu}}{d\tau} = 0$$

$$\Gamma^{\sigma}_{\rho\nu} = \frac{\partial x^{\sigma}}{\partial \xi^{\mu}} \frac{\partial^2 \xi^{\mu}}{\partial x^{\rho} \partial x^{\nu}}$$

$\Gamma \equiv$  CONNESSIONE METRICA

Equazione della geodetica

Soluzioni di questa equazione sono le linee di universo (4-dimensionali) lungo cui si svolge il moto di una particella, nel campo dato.

Espressione di  $\Gamma$  in termini del TENSORE METRICO  $g^{\mu\nu}$ :

$$ds^2 = \eta_{\mu\nu} d\xi^{\mu} d\xi^{\nu} = \left[ \eta_{\mu\nu} \frac{\partial \xi^{\mu}}{\partial x^{\rho}} \frac{\partial \xi^{\nu}}{\partial x^{\sigma}} \right] dx^{\rho} dx^{\sigma} = g_{\rho\sigma} dx^{\rho} dx^{\sigma} \quad \boxed{g_{\rho\sigma} = g_{\sigma\rho}}$$

$$\frac{\partial \eta_{\mu\nu}}{\partial x^{\lambda}} = \frac{\partial}{\partial x^{\lambda}} \left[ \eta_{\rho\sigma} \frac{\partial \xi^{\rho}}{\partial x^{\mu}} \frac{\partial \xi^{\sigma}}{\partial x^{\nu}} \right] = \eta_{\rho\sigma} \frac{\partial^2 \xi^{\rho}}{\partial x^{\lambda} \partial x^{\mu}} \frac{\partial \xi^{\sigma}}{\partial x^{\nu}} + \eta_{\rho\sigma} \frac{\partial \xi^{\rho}}{\partial x^{\mu}} \frac{\partial^2 \xi^{\sigma}}{\partial x^{\lambda} \partial x^{\nu}} =$$

$$= \eta_{\rho\sigma} \frac{\partial^2 \xi^{\rho}}{\partial x^{\lambda} \partial x^{\mu}} \frac{\partial \xi^{\sigma}}{\partial x^{\nu}} + \eta_{\rho\sigma} \frac{\partial \xi^{\rho}}{\partial x^{\mu}} \frac{\partial^2 \xi^{\sigma}}{\partial x^{\lambda} \partial x^{\nu}} = \Gamma^{\alpha}_{\lambda\mu} g_{\alpha\nu} + \Gamma^{\alpha}_{\lambda\nu} g_{\mu\alpha}$$

Di conseguenza:

$$\frac{\partial g_{\mu\nu}}{\partial x^{\lambda}} + \frac{\partial g_{\lambda\nu}}{\partial x^{\mu}} - \frac{\partial g_{\mu\lambda}}{\partial x^{\nu}} = \Gamma^{\alpha}_{\lambda\mu} g_{\alpha\nu} + \Gamma^{\alpha}_{\lambda\nu} g_{\mu\alpha} + \Gamma^{\alpha}_{\mu\lambda} g_{\alpha\nu} + \Gamma^{\alpha}_{\mu\nu} g_{\lambda\alpha} - \Gamma^{\alpha}_{\nu\mu} g_{\lambda\alpha} - \Gamma^{\alpha}_{\nu\lambda} g_{\mu\alpha} =$$

(la connessione metrica è simmetrica rispetto ai due indici in basso)

$$= 2g_{\alpha\nu} \Gamma^{\alpha}_{\lambda\mu} \quad \text{Moltiplico a dx e dx per } g^{\nu\beta}:$$

$$\boxed{\frac{1}{2} g^{\nu\beta} \left[ \frac{\partial g_{\mu\nu}}{\partial x^{\lambda}} + \frac{\partial g_{\lambda\nu}}{\partial x^{\mu}} - \frac{\partial g_{\mu\lambda}}{\partial x^{\nu}} \right] = g_{\alpha\nu} g^{\nu\beta} \Gamma^{\alpha}_{\lambda\mu} = \delta^{\beta}_{\alpha} \Gamma^{\alpha}_{\lambda\mu} = \Gamma^{\beta}_{\lambda\mu}}$$

## LIMITE NEWTONIANO

•  $v \ll c \Rightarrow dx^i \ll c dt \Rightarrow \left| \frac{dx^i}{dx^0} \right| \ll 1$

l'equazione del moto è approssimativamente

$$\frac{d^2 x^\mu}{d\tau^2} + \Gamma_{00}^\mu \left( \frac{dx^0}{d\tau} \right)^2 = 0$$

• campo statico:  $\frac{\partial g_{\mu\nu}}{\partial x^0} = 0$

$$\Gamma_{00}^\mu = \frac{1}{2} g^{\nu\mu} \left[ \frac{\partial g_{0\nu}}{\partial x^0} + \frac{\partial g_{0\nu}}{\partial x^0} - \frac{\partial g_{00}}{\partial x^\nu} \right] = -\frac{1}{2} g^{\nu\mu} \frac{\partial g_{00}}{\partial x^\nu}$$

• campo debole:  $g_{\mu\nu} = \eta_{\mu\nu} + h_{\mu\nu}$ ,  $h_{\mu\nu} \ll 1$

Al 1° ordine:

$$\Gamma_{00}^\mu = -\frac{1}{2} (\eta_{\mu\mu} + h_{\nu\mu}) \frac{\partial h_{00}}{\partial x^\nu} \approx -\frac{1}{2} \eta_{\nu\mu} \frac{\partial h_{00}}{\partial x^\nu}$$

Da cui:

$$\Gamma_{00}^0 = -\frac{1}{2} \eta_{00} \frac{\partial h_{00}}{\partial x^0} = 0 \quad (\text{campo statico})$$

$$\Gamma_{00}^i = -\frac{1}{2} \eta_{ii} \frac{\partial h_{00}}{\partial x^i} = \frac{1}{2} \frac{\partial h_{00}}{\partial x^i} \quad (\eta_{\mu\nu} \text{ è diagonale } \eta^{\mu\nu} = \begin{pmatrix} 1 & & \\ & -1 & \\ & & -1 \end{pmatrix})$$

Sappiamo inoltre che:

$$d\tau = (g_{\mu\nu} dx^\mu dx^\nu)^{1/2} \Rightarrow \frac{d\tau}{dx^0} = \left( g_{\mu\nu} \frac{dx^\mu}{dx^0} \frac{dx^\nu}{dx^0} \right)^{1/2} = \sqrt{g_{00}} \approx 1 \text{ per campi deboli}$$

Le equazioni del moto diventano:

$$\begin{cases} \frac{d^2 x^0}{d\tau^2} = 0 \Rightarrow \frac{dx^0}{d\tau} = \text{costante} \approx 1 \\ \frac{d^2 x^i}{d\tau^2} + \Gamma_{00}^i \left( \frac{dx^0}{d\tau} \right)^2 = 0 \Rightarrow \frac{d^2 x^i}{d\tau^2} + \frac{1}{2} \left( \frac{dx^0}{d\tau} \right)^2 \frac{\partial h_{00}}{\partial x^i} = 0 \Rightarrow +\frac{\partial \phi}{\partial x^i} \approx \frac{1}{2} \frac{\partial h_{00}}{\partial x^i} \end{cases}$$

Da cui si ricava  $h_{00} = 2\phi$  (condizioni al contorno:  $h \rightarrow 0$  a grande distanza)

$$d\tau = dx^0 \sqrt{1 + 2\phi}$$

## SISTEMA CO-MOVING

$$d\tau^2 \equiv dx^{0^2} \Rightarrow g_{00} \equiv 1$$

Questo vuol dire anche  $dx^i = 0$

$$\text{Infatti: } d\tau^2 = g_{00} dx^{0^2} + \alpha dx^{i^2}$$

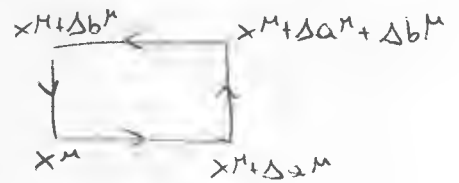
Un sistema di riferimento co-moving è un sistema di coordinate che fattorizza via l'espansione dell'universo: le coordinate degli oggetti risultano statiche, ad es. la distanza tra due galassie co-moving è costante nel tempo (in un altro s.d.r. aumenta nel tempo).

Un osservatore solidale ad un sistema co-moving è l'unico che possa percepire l'universo come isotropo.



# METRICA DI ROBERTSON-WALKER-FRIEDMANN

- Setting degli ologi all'interno di un sdr comoving (in cui il tensore metrico è invariante) (ISOTROPA)
  - $\Rightarrow d\tau^2 = dt^2 - B(r,t)dr^2 - r^2 C(r,t)d\Omega^2$
- Omogeneità dell'universo (principio cosmologico)  $\Rightarrow B, C$  fattorizzabili
  - $\Rightarrow d\tau^2 = dt^2 - a^2(t) [B'(r)dr^2 + C'(r)r^2 d\Omega^2]$
- Ridefinizione  $r' \equiv \sqrt{C(r)} r$ 
  - $\Rightarrow d\tau^2 = dt^2 - a^2(t) [f(r)dr^2 + r^2 d\Omega^2]$



- Opero un trasporto parallelo di un vettore: Nel s.d.r. del principio di equivalenza il vettore deve rimanere invariato:
  - $d\nu^\mu = 0$

Negli altri sdr:  $\nu^\mu = \frac{\partial x^\mu}{\partial x'^\nu} \nu'^\nu$

$$d\nu^\mu = 0 \Rightarrow \frac{\partial x^\mu}{\partial x'^\nu} d\nu'^\nu = 0 \Rightarrow \frac{\partial x^\mu}{\partial x'^\nu} d\left(\frac{\partial x^\mu}{\partial x'^\nu} \nu'^\nu\right) = 0 \Rightarrow \Gamma_{\rho\sigma}^\alpha dx^\rho \nu'^\sigma + d\nu'^\alpha = 0$$

$$d\nu'^\alpha = -\Gamma_{\rho\sigma}^\alpha dx^\rho \nu'^\sigma$$

Da cui:  $\frac{\partial \nu'^\mu}{\partial x^\sigma} = -\Gamma_{\rho\sigma}^\mu \nu'^\rho$

DERIVATA COVARIANTE

$$\frac{D\nu^\mu}{ds} = \frac{d\nu^\mu}{ds} + \Gamma_{\nu\rho}^\mu \frac{dx^\nu}{ds} \nu^\rho$$

- Si valuta al 1° ordine (spostamenti piccoli) la variazione  $\delta\nu^\mu$  lungo i 4 spostamenti usando  $\frac{\partial \nu'^\mu}{\partial x^\sigma} = -\Gamma_{\rho\sigma}^\mu \nu'^\rho$ , ottenendo

$$\delta\nu^\mu \approx R_{\rho\sigma\alpha\beta}^{\mu} \Delta x^\rho \Delta x^\sigma \nu'^\alpha$$

con  $R_{\rho\sigma\alpha\beta}^{\mu} = \Gamma_{\sigma\nu}^\mu \Gamma_{\rho\alpha}^\nu - \Gamma_{\rho\nu}^\mu \Gamma_{\sigma\alpha}^\nu + \frac{\partial \Gamma_{\rho\sigma}^\mu}{\partial x^\alpha} - \frac{\partial \Gamma_{\rho\alpha}^\mu}{\partial x^\sigma}$

con tutte le convenzioni calcolate nel punto  $x^\mu$ .

$R_{\rho\sigma\alpha\beta}^{\mu}$   $\equiv$  tensore di Riemann, ~~simmetrico~~ simmetrico per scambio di coppie di indici, antisimmetrico per scambio di indici adiacenti, gode delle proprietà di ciclicità su 3 indici e dell'identità di Bianchi.

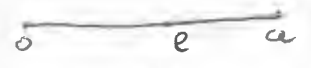
- Ci poniamo in due dimensioni ( $t \equiv t_0, \Theta \equiv \frac{\pi}{2}$ )  $\Rightarrow g_{\mu\nu} = - \begin{pmatrix} f(r) & 0 \\ 0 & r^2 \end{pmatrix}$
- Calcoliamo la curvatura  $K$ , ottenendo:

$$K = -\frac{1}{2} g^{\mu\kappa} g^{\lambda\nu} R_{\lambda\mu\nu\kappa} = \frac{1}{2r} \frac{f'(r)}{f^2(r)} \Rightarrow f(r) = \frac{1}{1-kr^2}$$

$$ds^2 = dt^2 - a^2(t) \left[ \frac{dr^2}{1-kr^2} + r^2 d\Omega^2 \right]$$

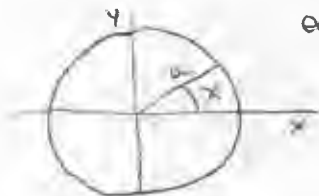
Metrica di Robertson-Walker

- $k=0 \Rightarrow$  universo piatto, coordinata 2D comoving:  $X = \frac{r}{a}$



- $k>0 \Rightarrow$  curvatura positiva comoving:

$$r = a \sin X = \frac{y}{a}$$



- $k<0 \Rightarrow$  curvatura negativa comoving:

$$r = \frac{x}{a} = a \sinh X$$



# TENSORE ENERGIA - IMPULSO

In relatività ristretta:

$$T^{\mu\nu} = \sum_n p_n^\mu \frac{dx_n^\nu}{dx^0} \delta^3(\vec{x} - \vec{x}_n) = \sum_n \frac{p_n^\mu p_n^\nu}{E_n} \delta^3(\vec{x} - \vec{x}_n)$$

In assenza di forze esterne,  $\partial_\nu T^{\mu\nu} = 0$

Applicando il principio cosmologico:

• omogeneità:  $T^{00} = \rho \forall x$

• isotropia:  $\langle p_i \rangle = 0 \Rightarrow T^{0i} = 0, T^{ij} \propto \delta^{ij}$

Dimensionalmente, trattasi di una pressione  $\Rightarrow T^{\mu\nu} \equiv \begin{pmatrix} \rho & 0 & 0 & 0 \\ 0 & p & 0 & 0 \\ 0 & 0 & p & 0 \\ 0 & 0 & 0 & p \end{pmatrix}$

• fluido ultrarelativistico:  $p = \frac{1}{3} \rho$

• fluido non relativistico:  $p \approx 0, \rho \approx m + \frac{3}{2} p$

Passiamo in un sistema di riferimento in moto a velocità  $v$ :

$$T^{\mu\nu} \equiv \alpha \mu^{\mu\nu} + \beta \eta^{\mu\nu}$$

Facendo il limite per  $v \rightarrow 0$  si ottiene:

$$T^{\mu\nu} = (\rho + p) u^\mu u^\nu - p \eta^{\mu\nu}$$

Passando dalla relatività ristretta alla relatività generale:

$$\boxed{\begin{aligned} T^{\mu\nu} &= (\rho + p) u^\mu u^\nu - p g^{\mu\nu} \\ T^{\mu\nu}_{; \nu} &= \frac{DT^{\mu\nu}}{dx^\nu} = 0 \end{aligned}}$$

$\equiv$  universo omogeneo, isotropo, non viscoso. Equazioni valide in qualsiasi sdr.

## EQUAZIONE DI EINSTEIN

$T^{\mu\nu}_{; \mu} = 0 \leftarrow$  voglio esprimerlo in termini di altri oggetti a 4-divergenza nulla

• Parto dall'identità di Bianchi:

$$g^{\lambda\nu} [R_{\lambda\mu(\nu\sigma); \eta} + R_{\lambda\mu(\eta\nu); \sigma} + R_{\lambda\mu(\sigma\eta); \nu}] = 0$$

$$g^{\mu\rho} [R_{\mu\sigma; \eta} + R_{\mu\eta; \sigma} + R^{\nu}_{\mu\sigma\eta; \nu}] = 0$$

$$R_{; \eta} + R^{\rho}_{\eta; \sigma} + R^{\nu}_{\eta; \nu} = R_{; \eta} + 2R^{\rho}_{\eta; \sigma} = 0$$

$$\delta^{\rho}_{\eta} R_{; \sigma} + 2R^{\rho}_{\eta; \sigma} = 0 \Rightarrow g^{\rho\alpha} \left( \frac{1}{2} \delta^{\rho}_{\eta} R + R^{\rho}_{\eta} \right)_{; \sigma} = 0$$

$$\boxed{R^{\rho\alpha} - \frac{1}{2} g^{\rho\alpha} R = \text{costante} \cdot T^{\rho\alpha}} \quad (\text{più eventuali altri termini a 4-divergenza nulla})$$

Per calcolare la costante mi metto in approssimazione

Newtoniana:

$$\cdot |T^{ij}| \ll \left| \frac{P^i P^j}{E} \right| \ll E = T^{00}$$

$$\cdot g^{00} \approx 1, \quad g^{\mu\nu} \approx \eta^{\mu\nu} + h^{\mu\nu}, \quad h \sim 2\phi = -\frac{2GM}{r}$$

L'equazione diventa:

$$\left\{ \begin{aligned} R^{00} - \frac{1}{2} g^{00} R &= \text{cost} \cdot T^{00} = \text{cost} \cdot \rho \approx R^{00} - \frac{1}{2} R \\ R^{ij} - \frac{1}{2} g^{ij} R &\approx 0 \Rightarrow g^{ij} (R^{ij} - \frac{1}{2} g^{ij} R) = 0 \Rightarrow \delta^{ij} R^{ij} - \frac{3}{2} R \approx 0 \Rightarrow -R^{ii} \approx \frac{3}{2} R \end{aligned} \right.$$

Ma vale anche:

$$R^{ij} = \frac{1}{2} g^{ij} R \approx -\frac{1}{2} \delta^{ij} (g^{\mu\nu} R_{\mu\nu}) \approx -\frac{1}{2} \delta^{ij} (R_{00} - R^{ii}) = -\frac{1}{2} \delta^{ij} R$$

$$R = R_{00} - R^{ii} = R_{00} + \frac{3}{2} R \Rightarrow R_{00} = -\frac{1}{2} R$$

$$\text{cost} = \frac{1}{\rho} (R_{00} \cdot 2) \quad \text{antisimmetria}$$

$$\text{Calcoliamo } R_{00} = g_{\lambda\nu} R^{\lambda 0 \nu 0} \approx R_{0000} - R^{i0i0} = -R^{i0i0}$$

$$R_{\nu\sigma\rho\beta} = g_{\nu\mu} R^{\mu\sigma\rho\beta} = g_{\nu\mu} \left[ \Gamma_{\sigma\nu}^{\mu} \Gamma_{\rho\beta}^{\nu} - \Gamma_{\rho\nu}^{\mu} \Gamma_{\sigma\beta}^{\nu} + \frac{\partial \Gamma_{\rho\beta}^{\mu}}{\partial x^{\sigma}} - \frac{\partial \Gamma_{\sigma\beta}^{\mu}}{\partial x^{\rho}} \right]$$

Prendo solo gli  $\omega$ -esimi pi $\dot{u}$  grandi:

$$\Gamma^{\mu} \sim g \frac{\partial g}{\partial x} \sim (1+h) \frac{\partial(1+h)}{\partial x} \sim \frac{\partial h}{\partial x} \sim \frac{1}{r^2} \Rightarrow \Gamma^{\mu} \sim \frac{1}{r^4}$$

$$\frac{\partial \Gamma}{\partial x} \sim \frac{1}{r^3}$$

$$\text{Di conseguenza. } R^{i0i0} = g_{i\mu} \left[ \frac{\partial \Gamma_{00}^{\mu}}{\partial x^i} - \frac{\partial \Gamma_{0i}^{\mu}}{\partial x^0} \right] \overset{\text{campo statico}}{\approx} -g_{i\mu} \frac{\partial \Gamma_{00}^{\mu}}{\partial x^i} \approx -\frac{\partial}{\partial x^i} \frac{1}{2} \frac{\partial g_{00}}{\partial x^i}$$

$$R^{i0i0} = -\nabla^2 \phi = \frac{1}{r^2} \frac{\partial}{\partial r} \left( r^2 \frac{\partial \phi}{\partial r} \right) = \frac{1}{r^2} \frac{\partial}{\partial r} \int_0^r 4\pi \rho G r^2 dr = 4\pi \rho G$$

$$\Rightarrow \text{cost} = 8\pi G$$

Teniamo ora conto del fatto che  $\exists$  un altro termine a 4-divergenza nulla, ovvero lo stesso tensore metrico:

$$R^{\mu\nu} - \frac{1}{2} g^{\mu\nu} R = 8\pi G T^{\mu\nu} + \Lambda g^{\mu\nu}$$

Equazione di Einstein

# EQUAZIONI DI FRIEDMANN - EINSTEIN

Si contrae l'eq. di Einstein con  $g^{\mu\nu} \Rightarrow R_{\mu\nu} = 8\pi G (T_{\mu\nu} - \frac{1}{2} g_{\mu\nu} T^{\mu}_{\mu}) \equiv 8\pi G S_{\mu\nu}$   
 A partire da  $S_{00}$  ed  $S_{ii} = S_{11}$  calcolate nel sdr comoving si ricavano  $R_{00}$  ed  $R_{11}$ , esprimendo le  $R$  in maniera esatta in funzione delle componenti di  $g_{\mu\nu}$  e di  $T_{\mu\nu}$ . Si ottengono due eq. scalari:

$$R_{00} = 4\pi G(\rho + 3p) = -3 \frac{\ddot{a}}{a} ; \quad (1 - kr^2) R_{11} = 4\pi G a^2(\rho - p) = 2k + 2\dot{a}^2 + a\ddot{a}$$

Dalla  $T^{\mu\nu}_{;\nu} = 0$  si ricava inoltre l'eq. di CONTINUITA':

$$d(\rho a^3) = -p d(a^3)$$

ovvero: la variazione di massa dipende solo dalla variazione del volume... Ri-implementando  $\Lambda$  ( $\rho \rightarrow \rho + \frac{\Lambda}{8\pi G}$ ,  $p \rightarrow p - \frac{\Lambda}{8\pi G}$ ) e riarrangiando le prime due eq. si ottengono le

## EQUAZIONI DI FRIEDMAN

$$\frac{k}{a^2} + \frac{\dot{a}^2}{a^2} = \frac{8}{3} \pi G \rho + \frac{\Lambda}{3} \quad \frac{k}{a^2} + \frac{\dot{a}^2}{a^2} + 2 \frac{\ddot{a}}{a} = -8\pi G p + \Lambda$$

In particolare moltiplicando la prima per  $m \frac{a^2}{2}$ :

$$\frac{1}{2} m \dot{a}^2 = \left( \frac{4}{3} \pi \rho a^3 \right) \frac{Gm}{a} + \frac{\Lambda m a^2}{6} - \frac{m k}{2}$$

$\uparrow$  eu. cinetica       $\uparrow$  eu. potenziale gravitazionale       $\uparrow$  forza repulsiva  $\propto$  alla distanza       $\uparrow$  eventuale contributo della curvatura

Tra le due equazioni di F. e l'eq. di continuita' solo due sono indipendenti -

Occorre introdurre una EQUAZIONE DI STATO della forma  $p = \alpha \rho$

- fluido NR (matter domination):  $\alpha = 0$ ,  $\rho \propto a^{-3}$
- fluido UR (radiation domination):  $\alpha = 1/3$ ,  $\rho \propto a^{-4} \sim \text{redshift} \cdot a^{-3}$
- $\Lambda$ -domination:  $\alpha = -1$ ,  $\rho = \frac{\Lambda}{8\pi G}$

Inserendo  $p = \alpha \rho$  nell'equazione di continuita' si ottiene infatti  $\rho \propto a^{-3(\alpha+1)}$   
 Utilizzando questa e le eq. di F. si ricava  $\ddot{a} = -\frac{4}{3} \pi G (1+3\alpha) a^{-3(\alpha+1)+1}$ ;  
 utilizzando l'ausatz  $a \propto t^\beta$ :  $\beta = \frac{2}{3(\alpha+1)}$ . Di conseguenza:

- Matter domination  $\Rightarrow a \propto t^{2/3}$
- radiation domination  $\Rightarrow a \propto \sqrt{t}$
- $\Lambda$ -domination  $\Rightarrow \frac{\ddot{a}}{a} = \frac{\Lambda}{3} \Rightarrow a \propto e^{\sqrt{\frac{\Lambda}{3}} t}$  (inflazione)

Dalla 1<sup>a</sup> equazione di Friedman:

$$\frac{da}{dt} = \sqrt{\frac{8}{3} \pi G \rho a^2 + \frac{\Lambda}{3} a^2 - k}$$

Questa eq. separa i contributi di  $\rho$ ,  $\Lambda$  e  $k$ .

$$\rho_c = \frac{3H^2}{8\pi G} \approx 10^{-29} \text{ g/cm}^3$$

La densità attuale di materia barionica (non relativistica), compresa la materia oscura, si stima attraverso lo studio di effetti come le lenti gravitazionali e le curve di rotazione delle galassie, e risulta:

$$\rho_{M_0} \sim 0.3 \rho_c \sim 3 \cdot 10^{-30} \text{ g/cm}^3$$

di cui solo circa il 10% è visibile.

La densità di radiazione (materia relativistica) si stima trattando la CMB come un corpo nero:

$$\rho_{R_0} = \sigma_{SB} T^4 \approx 4 \cdot 10^{-34} \text{ g/cm}^3 \Rightarrow \text{L'universo attuale è matter-dominated, } \rho_0 \sim a_0^{-3}$$

$$\rho_R a^4 = \rho_{R_0} a_0^4; \quad \rho_M a^3 = \rho_{M_0} a_0^3 \Rightarrow \frac{\rho_R}{\rho_M} = \frac{\rho_{R_0}}{\rho_{M_0}} \frac{a_0}{a} \approx 10^{-4} \frac{a_0}{a}$$

Se l'universo è in espansione, questo rapporto  $\rightarrow 0$ .

Materia relativistica e materia barionica avevano lo stesso peso al tempo in cui  $a(t) = 10^{-4} a_0$ , cioè l'universo era più piccolo di un fattore  $10^4$  rispetto ad ora.

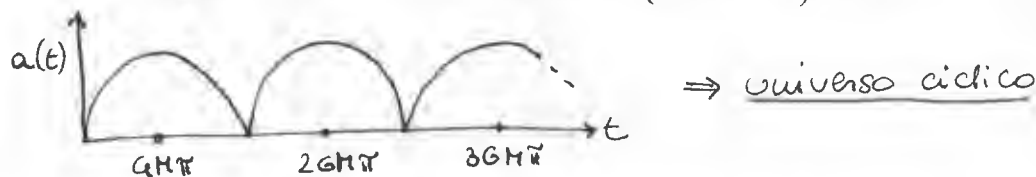
$$\left. \frac{da}{dt} \right|_{\rho \sim a^{-3}} = \sqrt{\frac{2MG}{a} + \frac{\Lambda}{3} a^2 - \kappa} \rightarrow \text{Modelli di universo attuale.}$$

- Universo di Einstein - de Sitter:  $\Lambda \neq 0, \kappa \equiv 0$

$$\frac{da}{dt} = \sqrt{\frac{2MG}{a}} \Rightarrow a(t) \propto t^{2/3}$$

- Universo a curvatura positiva:  $\Lambda \equiv 0, \kappa \equiv 1$

Cambio di variabile:  $a \equiv GM(1 - \cos\theta) \Rightarrow a(t)$  è una cicloide



- Universo a curvatura negativa:  $\Lambda \equiv 0, \kappa \equiv -1$

Cambio variabile:  $a \equiv GM(\cosh\theta - 1), t \equiv GM(\sinh\theta - \theta)$

$\Rightarrow$  per  $t \rightarrow \infty$  si ha  $a \propto t \Rightarrow$  universo in espansione perenne

# PARAMETRI COSMOLOGICI E STORIA DELL'UNIVERSO

Dall'equazione di Friedmann  $\frac{\dot{a}^2}{a^2} + \frac{k}{a^2} = \frac{8}{3}\pi G\rho + \frac{\Lambda}{3}$

ricomoscendo che, almeno per "piccole" distanze,

$d = ar \Rightarrow v = \dot{d} = \frac{\dot{a}}{a} ra = \frac{\dot{a}}{a} d$  ma anche  $v = Hd$ ,

$$H = \frac{\dot{a}}{a}$$

Dividendo l'equazione per  $H^2$  ed imponendo

$$\rho_c = \frac{3}{8\pi G} H^2$$

si ottiene:  $1 = \frac{\rho}{\rho_c} + \frac{\Lambda}{3H^2} - \frac{k^2}{H^2 a^2}$

Definisco:

$$\Omega_M \equiv \frac{\rho}{\rho_c}$$

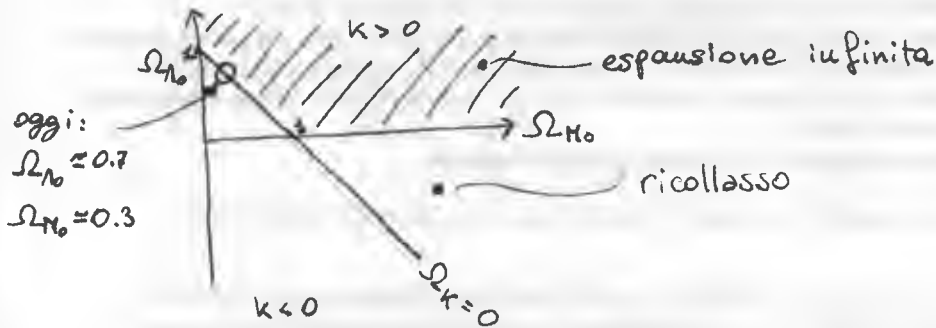
$$\Omega_\Lambda = \frac{\Lambda}{3H^2}$$

$$\Omega_k = -\frac{k}{a^2 H^2}$$

N.B.:  $a, H, \rho_c$  dipendono dal tempo! si ottiene:

$$\Omega_M + \Omega_\Lambda + \Omega_k = 1$$

La curvatura dipende da  $\Lambda$  e da  $\rho$ !  $\Omega_k = 1 - (\Omega_M + \Omega_\Lambda)$



Infatti dall'equazione in forma esplicita

$$\Lambda > 0 \Leftrightarrow a \rightarrow \infty$$

Quindi  $\Lambda < 0 \Rightarrow$  ricollasso

In funzione dei parametri attuali:  $\frac{\Omega_M}{\Omega_{M0}} = \frac{H_0^2 a_0^3}{H^2 a^3}$ ,  $\frac{\Omega_k}{\Omega_{k0}} = \frac{H_0^2 a_0^2}{H^2 a^2}$ ,  $\frac{\Omega_\Lambda}{\Omega_{\Lambda0}} = \frac{H_0^2}{H^2}$

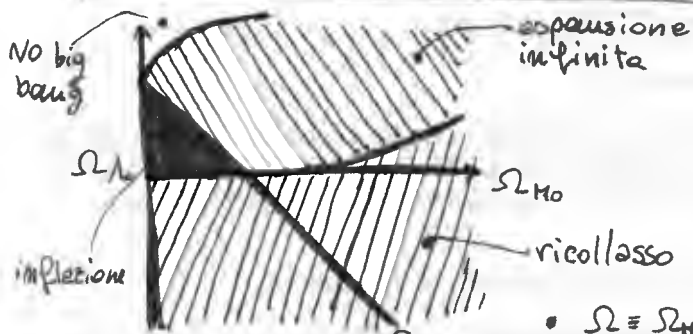
$$\Rightarrow 1 = \Omega_{M0} \frac{H_0^2 a_0^3}{H^2 a^3} + \Omega_{k0} \frac{H_0^2 a_0^2}{H^2 a^2} + \Omega_{\Lambda0} \frac{H_0^2}{H^2}$$

Moltiplico per  $H^2$  e sostituisco:  $\Omega_{k0} = 1 - (\Omega_{M0} + \Omega_{\Lambda0})$

$$R \equiv \frac{a}{a_0}$$

Si ottiene:

$$\frac{\dot{R}^2}{H_0^2} = \Omega_{M0} \left( \frac{1}{R} - 1 \right) + \Omega_{\Lambda0} (R^2 - 1) + 1$$



Infatti:

• per  $\Omega_{M0} > 1$ ,  $\Omega_{\Lambda0} < 1$ , se  $R$  è grande ho  $\dot{R}^2 < 0$  (assurdo)

• per  $\Omega_{M0} < 1$ ,  $\Omega_{\Lambda0} > 1$ , se  $R$  è piccolo ho  $\dot{R}^2 < 0$  (assurdo)  $\Rightarrow a$  ha un limite inferiore  $\Rightarrow$  ~~no~~ big bang

•  $\Omega = \Omega_M + \Omega_\Lambda$ . Matter domination  $\Rightarrow \frac{\Omega-1}{\Omega} \sim \frac{1}{a} \sim t^{-2/3}$

$\Rightarrow$  curvatura nulla per forza?  
No. Se in passato c'è stata  $\Lambda$ -domination anche per poco tempo, si ha avuto:  $a \sim e^{\sqrt{\Lambda/3} t}$ ,  $\frac{\Omega-1}{\Omega} \sim a^{-2} \sim e^{-2\sqrt{\Lambda/3} t} \rightarrow 0$  (INFLAZIONE) -

# REDSHIFT

Galassia in moto rispetto a noi, contiene fonte di luce.

Fotone emesso in  $r_1$  al tempo  $t_1$  e rivelato in  $O$  al tempo  $t_0$ .

La metrica si scrive:

$$d\tau^2 = 0 = dt^2 - a^2(t) \frac{dr^2}{1 - kr^2}$$

perché è un fotone perché stiamo considerando la direzione  $\Theta = \varphi = 0$

$$\Rightarrow \frac{dt^2}{a^2(t)} = \frac{dr^2}{1 - kr^2} \quad \text{valida in ogni punto del cammino del fotone} \Rightarrow \text{posso integrare.}$$

Il cammino percorso da una cresta è uguale a quello percorso dalla cresta successiva.

$$\int_0^{r_1} \frac{dr}{\sqrt{1 - kr^2}} = \int_{t_1}^{t_0} \frac{dt}{a(t)} = \int_{t_1 + \Delta t_1}^{t_0 + \Delta t_0} \frac{dt}{a(t)} = \int_{t_1}^{t_0} \frac{dt}{a(t)} + \int_{t_0}^{t_0 + \Delta t_0} \frac{dt}{a(t)} - \int_{t_1}^{t_1 + \Delta t_1} \frac{dt}{a(t)}$$

$$\Rightarrow \int_{t_0}^{t_0 + \Delta t_0} \frac{dt}{a(t)} = \int_{t_1}^{t_1 + \Delta t_1} \frac{dt}{a(t)} \quad \text{Approssimando: } \frac{\Delta t_0}{a(t_0)} = \frac{\Delta t_1}{a(t_1)}$$

$$\Delta t_0 = \Delta t_1 \frac{a(t_0)}{a(t_1)}$$

$\Rightarrow$

$$v_0 = v_1 \frac{a(t_1)}{a(t_0)}$$

$$\lambda_0 = \lambda_1 \frac{a(t_0)}{a(t_1)}$$

Se l'universo è in espansione,  $a(t_0) > a(t_1) \Rightarrow \lambda_0 > \lambda_1$

$\Rightarrow$  spostamento verso il rosso. Si definisce:

$$z \equiv \frac{\lambda_0 - \lambda_1}{\lambda_1} = \frac{\lambda_1}{\lambda_1} \left[ \frac{a(t_0)}{a(t_1)} - 1 \right] = \frac{a(t_0)}{a(t_1)} - 1 \Rightarrow \frac{a(t_0)}{a(t_1)} = 1 + z$$

Misuro  $z$  prevedo  $\Rightarrow$  Misuro  $a$ !

Inoltre:  $v \cdot a = \text{costante} \Rightarrow v \sim E \sim 1/a$

$$S_{RD} \sim S_{MD} \frac{1}{a} \sim \frac{1}{a^4}$$

- un contributo  $a^{-3}$  dalla diffusione di un certo numero di  $\gamma$  (come per le particelle massive)
- un contributo  $a^{-1}$  dal calo dell'

energia trasportata dal singolo  $\gamma$ .

# NUCLEOSINTESI

Sperimentalmente:

- nuclei leggeri ( $\sim {}^4\text{He}$ )  $\sim 24\%$  materia
- $\Omega_M = 0.3$       $\Omega_B = 0.03$  (materia barionica)

$\Rightarrow$  Non è possibile che l'elio sia prodotto solo nelle stelle, perché, supponendo che avvenga solo la reazione pp:

$$\frac{\text{Luminosità galassia} \cdot \text{età galassia}}{\text{en. spesa per produrre 1 kg di } {}^4\text{He}} = \frac{\text{massa } {}^4\text{He prodotto}}{\text{massa galassia}} \approx 1\%$$

Dobbiamo allora spiegarlo con quanto succedeva nei primi istanti di vita dell'universo, al variare della temperatura.

- $T \gg 1 \text{ MeV}$ :  $\nu$  contribuiscono ancora.

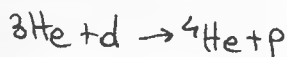
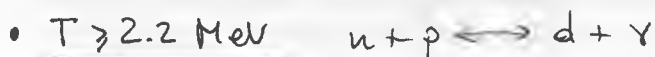


$$\frac{n}{p} \approx e^{-(m_n - m_p)/T} \approx 0,28 \quad \text{per } T = 1 \text{ MeV}$$

- $T < 1 \text{ MeV}$ :  $\nu$  disaccoppiati  $\Rightarrow$  rimane solo  $n \rightarrow p + e^- + \bar{\nu}_e$  con  $\tau_n \approx 15 \text{ min}$ .

$$\frac{n}{n+p} = \frac{n}{n+p} \Big|_{1 \text{ MeV}} e^{-t/\tau_n} = 0,216 e^{-t/\tau_n}$$

Ma avviene anche:



- Scendendo ancora con la temperatura non riesco più a superare la barriera coulombiana  $\Rightarrow$  no nuclei più pesanti.

- La stessa parte quando è più abbastanza fotoni da spezzare il deuterio, ovvero quando:

$$\frac{n_\gamma(E \geq 2.2 \text{ MeV})}{n_\gamma} \leq \frac{n_{\text{barioni}}}{n_\gamma} = \eta_B = 5.5 \cdot 10^{-10} \Rightarrow e^{-\frac{2.2 \text{ MeV}}{T}} \leq 5 \cdot 10^{-10} \Rightarrow T \leq 100 \text{ KeV}$$

$$\Rightarrow t \approx \frac{1}{T^2 [\text{MeV}^2]} \approx 100 \text{ s } (\sim 3 \text{ min in realtà}) \Rightarrow \frac{n}{n+p} \approx 0.17$$

$$\Rightarrow \text{frazione di } {}^4\text{He} \text{ prodotto per nucleosintesi} = \frac{4 n_{4\text{He}}}{n_p + n_n} = \frac{4 (n/2)}{n+p} = 0.34 \text{ (in realtà } 0.24)$$

c.v.d.



# Termodinamica dell'universo nelle sue fasi iniziali

1<sup>a</sup> eq. di Friedmann:  $H^2 + \frac{k^2}{a^2} = \frac{8}{3} \pi G \rho + \frac{1}{3}$   $\rho \begin{cases} a^{-3} & \text{N.R.} \\ a^{-4} & \text{R.} \end{cases}$

All'inizio  $a$  era piccolo  $\Rightarrow$  domina  $\rho$

$\Rightarrow H \approx \frac{2}{3} \pi G \rho$

Vogliamo vedere come si evolvono le particelle nelle varie fasi ed identificarne le conseguenze verificabili sperimentalmente. Per trattare il sistema in modo termodinamico dobbiamo capire quali particelle sono all'equilibrio (e quindi trattabili in questo modo) e quali no.

**Equilibrio:  $\Gamma_i \gg H$**  Ovvero, rate d'interazione della specie  $i$ -esima  $\gg$  rate di espansione dell'universo

**Disaccoppiamento:  $\Gamma_i \ll H \Rightarrow n_i a^3 = \text{cost.}$**  Chiameremo condizione di disaccoppiamento

della specie  $i$ -esima  $\Gamma_i = H$ . A questo punto la distrib. della " " è dominata dall'espansione dell'universo piuttosto che dalle interazioni.

F.D. o B.E.:  $f(E) = \frac{1}{e^{\frac{E-\mu_i}{T}} \pm 1}$

$n_i = g_i \int \frac{d^3p}{(2\pi)^3} f_i(p)$   $\rho_i = \langle E_i \rangle n_i = \int g_i \frac{E_i d^3p}{(2\pi)^3} f_i(p)$  (densità di energia)

$P_i = g_i \int \frac{P_i^2}{E_i} \frac{1}{3} \frac{d^3p}{(2\pi)^3} f_i(p)$  (pressione, dalla definizione di tensore energia-impulso)

Vediamo quanto valgono queste grandezze per particelle relativistiche e non:

• NR:  $m \gg T$   $E \approx m$  si ottiene:  $n_{iNR} = g_i \left(\frac{mT}{2\pi}\right)^{3/2} e^{-\frac{m}{T}}$

$\rho_{iNR} = m n_{iNR}$   $P_{iNR} \approx 0 = 2T n_{iNR}$  Si vede che  $\rho_{NR}$  è esponenzialmente soppressa da  $m/T \Rightarrow$  contribuiscono molto poco alle  $\rho_{tot}$

• R:  $E \gg m, \Leftrightarrow T \gg m \wedge E \approx p$  si ottiene:  $n_{iR} \approx \frac{1,2}{\pi^2} g_i T^3$  ( $\frac{3}{4}$  per fermioni)

$\rho_{iR} = \frac{T}{30} n_{iR}$  ( $\frac{7}{8}$  per fermioni)  $\propto T^4$   $P_{iR} \approx \frac{1}{3} \rho_{iR}$

È stato trascurato il potenziale chimico. Per definizione:

$\mu = -T \left( \frac{\partial S}{\partial N} \right)_{V,T}$  - Consideriamo una reazione:  $n_1 A_1 + n_2 A_2 \leftrightarrow n_3 A_3 + n_4 A_4$  ( $n_3, n_4$  negativi)  $\Rightarrow \sum_i n_i A_i = 0$ . Se siamo all'equilibrio:

$0 = \delta S = \sum_i \frac{\partial S}{\partial n_i} \delta n_i = - \sum_i \left( \frac{\mu_i}{T} \right) \delta n_i$   $\delta n_i = \text{cost.} \cdot n_i$

$\Rightarrow - \sum_i \frac{\mu_i}{T} n_i = 0 \Rightarrow - \sum_i \mu_i n_i = 0$

Cioè il potenziale chimico è additivo e la sua somma è conservata. Dalle varie reazioni e dai numeri quantici conservati si scopre che  $\exists \mu$  indipendenti, associati a  $Q, B, L_e, L_\mu$ , che sono funzioni dispari di queste. Si sa che, considerando l'universo intero:

$$\left. \begin{array}{l} Q, L_\mu = 0 \\ L_e = B \approx 0.03 \approx 0 \end{array} \right\} \text{funzioni dispari in } 0 \text{ fanno } 0 \Rightarrow \mu \text{ trascurabili.}$$

perché nel processo particella-antiparticella  $Q(-\mu) = -Q(\mu)$ .

||  
 $m_e - m_{e^+}$

PROP.: L'entropia è costante in un volume comoving (Non è scontato: l'equilibrio mi dice solo che è stazionaria!)

1° princ. t.d.:  $Tds = PdV - \mu dN + dU$

$U = \rho V \Rightarrow dU = d(\rho V) = \rho dV + V d\rho$        $Tds = (p + \rho) dV + V ds$

$dS = \frac{(p+\rho)}{T} dV + \frac{V}{T} d\rho$  ... Se  $S$  è una f. di stato, l'Hessiano è simmetrica.

$\frac{\partial^2 S}{\partial T \partial V} = \frac{\partial^2 S}{\partial V \partial T}$        $\frac{\partial S}{\partial V} = \frac{p+\rho}{T} \Rightarrow \frac{\partial}{\partial T} \frac{\partial S}{\partial V} = -\frac{1}{T^2} (p+\rho) + \frac{1}{T} \frac{\partial (p+\rho)}{\partial T}$

$\frac{\partial S}{\partial T} = \frac{\partial S}{\partial \rho} \frac{\partial \rho}{\partial T} = \frac{V}{T} \frac{\partial \rho}{\partial T} \Rightarrow \frac{\partial}{\partial V} \frac{\partial S}{\partial T} = \frac{1}{T} \frac{\partial \rho}{\partial T}$

$\frac{1}{T} \frac{\partial \rho}{\partial T} = -\frac{1}{T^2} (p+\rho) + \frac{1}{T} \frac{\partial (p+\rho)}{\partial T}$

Quindi:

$\frac{\partial \rho}{\partial T} = -\frac{p+\rho}{T} + \frac{\partial p}{\partial T} + \frac{\partial \rho}{\partial T} \Rightarrow \frac{\partial p}{\partial T} = -\frac{p+\rho}{T}$

$dS = \frac{1}{T} (p+\rho) dV + \frac{V}{T} d\rho + \frac{V}{T} dp - \frac{V}{T} dp$  (aggiungo e sottraggo  $\frac{V}{T} dp$ )

$dS = \frac{1}{T} d[(p+\rho)V] - \frac{V}{T} dp = \frac{1}{T} d[(p+\rho)V] + \frac{V}{T^2} (p+\rho) dT = d\left[\frac{(p+\rho)}{T} V\right]$

$S = \frac{p+\rho}{T} V$  (più costante). Usiamo come  $V$  il volume comoving  $a^3$  ed usiamo l'eq di continuità.

$d(\rho a^3) = -p d(a^3)$

$\frac{dS}{dt} = \frac{d}{dt} \left[ \frac{(p+\rho)}{T} a^3 \right] = \frac{1}{T} \frac{d}{dt} [(p+\rho)a^3] - \frac{1}{T^2} (p+\rho)a^3 \frac{dT}{dt}$   
 $= \frac{1}{T} \left[ \frac{d(\rho a^3)}{dt} - p \frac{d(a^3)}{dt} \right] - \frac{1}{T^2} (p+\rho)a^3 \frac{dT}{dt} = \frac{1}{T} \left[ \frac{d(\rho a^3)}{dt} - p \frac{d(a^3)}{dt} - \frac{a^3 dP}{dt} \right] = 0$

Questo vale per tutte le specie che sono all'equilibrio termodinamico - d'entropia  $\propto T^3$ : contano solo le specie relativistiche  $\Rightarrow P = \frac{1}{3} \rho$

$\Rightarrow S = \frac{4}{3} S_R \frac{a^3}{T} \propto \frac{a^3}{T} T^4 \Rightarrow S \propto a^3 T^3$

PROP.:  $t \sim T^{-2}$  Contano solo le particelle relativistiche.  $H^2 = \frac{8}{3} \pi G \sum_{rel} \rho_i \Rightarrow H^2 \propto G T^4$

Sapevamo che: radiation domination  $\Rightarrow a \propto \sqrt{t} \Rightarrow \dot{a} \propto \frac{1}{\sqrt{t}}$

$H^2 = \left(\frac{\dot{a}}{a}\right)^2 \propto \frac{1}{t^2}$  ma anche  $H^2 \propto T^4 \Rightarrow \frac{1}{t^2} \propto T^4$  c.v.d.

Facendo il conto esatto:  $t[s] = \frac{2}{\sqrt{g_{eff}}} \frac{1}{T^2 [M_{pl}^2]}$

I neutrini si disaccoppiano quando  $M=H$ .

$$M = n \sigma v_{rel} = n \sigma c \propto T^3 \cdot S \cdot G_F^2 \cdot c \propto G_F^2 c T^5 \equiv H \propto \sqrt{\rho} \propto \sqrt{T^4} = \sqrt{G} T^2$$

Quindi:  $G_F^2 c T^3 \equiv \sqrt{G} \Rightarrow T^3 = \frac{\sqrt{G}}{G_F^2} \Rightarrow T = \frac{\sqrt[6]{G}}{G_F^{2/3}}$

In unita' naturali:

$$G = 6 \cdot 10^{-37} \text{ GeV}^{-2}$$

$$G_F = 1.16 \cdot 10^{-5} \text{ GeV}^{-2}$$

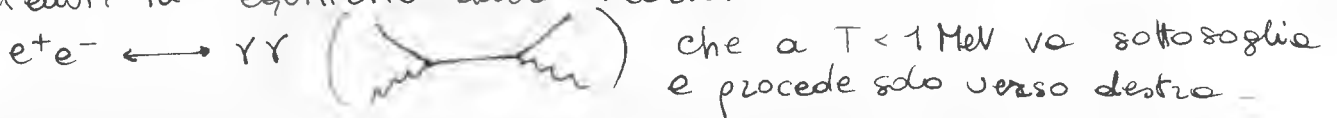
risulta:  $T_{\text{disacc. } \nu} \approx 1.8 \text{ MeV} \equiv T_D$

Dopo di che i  $\nu$  non hanno più una  $T$  definito (non sono più all'equilibrio),  
ma  $\bar{\epsilon} \cdot a = \text{costante} \Rightarrow \epsilon_0 a_0 = \epsilon_D a_D$

$\Rightarrow$  definendo  $T_{\text{eff}} \equiv T_D \frac{a_D}{a_0}$ , siccome al disaccoppiamento la distribuzione resta congelata, i  $\nu$  restano descritti da una Fermi-Dirac formula:

$$f(\bar{\epsilon}) = \frac{1}{e^{\bar{\epsilon}/T_{\text{eff}}} + 1}$$

A  $T \sim 2 \text{ MeV}$  sono relativistici  $e^\pm, \nu, \gamma$ . Dopo  $T_D$  restano  $e^\pm$  e  $\gamma$ , mantenuti in equilibrio dalle reazioni:



Restano comunque anche  $e^+$  ed  $e^-$  all'eq., ma si annichilano e diminuiscono molto. Fanno Compton coi fotoni.

In poco tempo l'entropia è tutta retta dai  $\gamma$ . Calcoliamo la temperatura attuale dei  $\nu$ :

$$S = \frac{4}{3} \rho \frac{a^3}{T} \quad \rho = \sum_i \rho_{iR} = \frac{T^4 \pi^4}{30 \cdot 1,2} \quad \sum_i g_i = \frac{T^4 \pi^4}{30 \cdot 1,2} g_{\text{eff}}$$

$$g_{\text{eff}} \Big|_{e^\pm \gamma} = \frac{7}{8} \cdot 2 + \frac{7}{8} \cdot 2 + 2 = \frac{11}{2} \quad g_{\text{eff}} \Big|_{\gamma} = 2$$

$$T a = \text{costante}$$

$$S \Big|_{e^\pm \gamma} \equiv S \Big|_{\gamma} \Rightarrow \frac{4}{3} \frac{T_p^4 \pi^4}{30 \cdot 1,2} \frac{11}{2} \frac{a_p^3}{T_p} = \frac{4}{3} \frac{T_D^4 \pi^4}{30 \cdot 1,2} 2 \frac{a_D^3}{T_D}$$

$$\Rightarrow (aT)_{e^\pm \gamma}^3 g_{\text{eff}, e^\pm \gamma} = (aT)_{\gamma}^3 g_{\text{eff}, \gamma} \Rightarrow (aT)_{\gamma} = \sqrt{\frac{11}{2}} (aT)_{e^\pm \gamma}$$

Ma  $(aT)_{e^\pm \gamma} = (aT)_{\nu_{\text{ora}}}$  perché i  $\nu$  si sono disaccoppiati mantenendo la loro energia.

$$(aT)_{\gamma_{\text{ora}}} = \sqrt{\frac{11}{2}} (aT)_{\nu_{\text{ora}}} \Rightarrow T_{\nu_0} = \sqrt{\frac{4}{11}} T_{\text{CMB}} \approx 1.7 \text{ K}$$

$$\eta_B$$

# FRAZIONE DI MATERIA BARIONICA

$$\eta_B = \frac{m_B}{m_\gamma} \quad B \text{ barioni}$$

Si misura che:  $\Omega_M = 0.3$ ,  $\Omega_B = 0.03$

quantità note

$$\Omega_M = \frac{\rho_M}{\rho_c} \quad \Omega_B = \frac{\rho_B}{\rho_c} \approx \frac{1}{\rho_c} m_B n_B \cdot \frac{m_\gamma}{m_\gamma} = \frac{1}{\rho_c} m_B n_B n_\gamma$$

barioni non relativistici

$$\Rightarrow \eta_B = \frac{\rho_c \Omega_B}{m_p n_\gamma} \approx \frac{10^{-29} \cdot 0.03 \cdot 6}{400 \cdot 10^{-23}} \approx 9 \cdot 10^{-10}$$

## DISACCOUPLAMENTO FOTONI

Andiamo ad energie dell'~ eV: le reazioni che avvengono sono:

•  $\gamma e^- \leftrightarrow \gamma e^- \quad \sigma \sim \alpha^2 / m_e^2$

•  $\gamma p \rightarrow \gamma p \quad \sigma \sim \alpha^2 / m_p^2$  trascurabile

•  $e^- p \rightarrow H \gamma \quad \text{B.E.}(H) \sim 13.6 \text{ eV}$ , che sono le T che stiamo considerando  
 Il 3° processo fa calare il numero di  $e^-$  liberi  $\Rightarrow$  influenza il 1° processo -

$$\mu_e + \mu_p = \mu_H + \mu_\gamma = \mu_H + 0$$

Tutte le particelle sono NR eccetto i fotoni -

$$n_{i, NR} = g_i \left( \frac{mT}{2\pi} \right)^{3/2} e^{-m_i/T}$$

Calcoliamo la frazione di atomi rispetto alle  $e$  e  $p$ :

densità di

$$\frac{n_H}{n_e n_p} = \frac{g_H}{g_e g_p} \left( \frac{m_H}{m_e m_p} \right)^{3/2} e^{-\frac{\mu_H + m_e + m_p}{T}} = \frac{g_H}{g_e g_p} \left( \frac{m_H}{m_e m_p} \right)^{3/2} e^{-\frac{\mu_H - \mu_e - \mu_p}{T}} = \frac{g_H}{g_e g_p} \left( \frac{m_H}{m_e m_p} \right)^{3/2} e^{-\frac{\mu_H}{T}} \left( \frac{2\pi}{T} \right)^{3/2}$$

$$m_H \approx m_p, \quad g_H = g_e g_p \Rightarrow Q=0 \Rightarrow \mu_e \approx \mu_p \Rightarrow m_e n_p \approx m_p^2$$

$$n_H = m_e^2 \left( \frac{2\pi}{m_e T} \right)^{3/2} e^{-\frac{\mu_H}{T}}$$

Vogliamo sapere qual è la frazione di  $e^-$  liberi, che mantiene in equilibrio  $\gamma$  con la 1° reazione

$$\frac{n_{e^- \text{ liberi}}}{n_{e^- \text{ tot}}} = \frac{n_e}{n_e + n_H} \equiv X_e = X_p = \frac{m_p}{m_p + m_H}$$

Osserviamo che  $m_p + m_H = m_B$

$$\Rightarrow X_e = \frac{m_p}{m_B} \quad \text{Calcolo: } \frac{1-X_e}{X_e^2} = \frac{m_H}{m_B} \frac{m_B^2}{m_p^2} = \frac{m_H + m_B}{m_e^2} = m_p \left( \frac{2\pi}{m_e T} \right)^{3/2} e^{-\frac{\mu_H}{T}} \cdot \frac{m_\gamma}{m_\gamma} \Rightarrow$$

$$\frac{1-X_e}{X_e^2} = \eta_B n_\gamma \left( \frac{2\pi}{m_e T} \right)^{3/2} e^{-\frac{\text{B.E.}}{T}}$$

N.B.:  $m_\gamma \neq m_{\gamma_0}$  !!

$$m_\gamma = \frac{2 \cdot 1,2}{\pi^2} T^3$$

Impone che, dal disaccoppiamento dei  $\gamma$  in poi,  $X_e$  non sia cambiato.  
 $X_{e_0} = 10\%$ .

Sappiamo che  $a_0 T_D = a_0 T_0 \Rightarrow T_D = \frac{a_D}{a_0} T_0 = (1+z_D) T_0$ .

Vogliamo:  $\Gamma \equiv H$ .  $\Gamma(\gamma e \rightarrow \gamma e) = m_e \sigma c$

H e  $\Gamma$  sono funzioni diverse di  $(1+z)$ : si incontrano nel punto  $1+z \approx 1100 \Rightarrow T_D \approx 3000 \text{ K}$

Ed il momento in cui è avvenuto il disaccoppiamento dei  $\gamma$  è dato da:

$$t_D = \int_{z_D}^{\infty} \frac{dz}{(z+1)^{3/2} H_0(z+1)} \quad \text{dove } (z+1)^{3/2} \approx E(z) \text{ in caso di M.D. - in fatti}$$

$$E(z) = \sqrt{\Omega_{\Lambda_0} + (1+z)^3 \Omega_{m_0} + (1+z)^2 \Omega_{k_0}} \quad \left( \text{da } \frac{\dot{a}}{a} = H_0 E(z) \right)$$

$$* \frac{1}{a} \frac{da}{dt} = H_0 E(z) \Rightarrow \int_0^{a(z)} \frac{da}{a H_0 E(z)} = \int_0^{t_D} dt$$

sto sup. che  $\exists$  big bang

Cambio variabile:  $\frac{a_0}{a} = 1+z \Rightarrow -da = \frac{a_0}{(1+z)^2} dz \Rightarrow \int = \int_{z_0}^{\infty} \frac{-a_0}{(1+z)^2} \frac{dt}{H_0 E(z)} \frac{1}{H_0}$

$$\int_0^{t_D} dt = \int_{z_D}^{\infty} \frac{-dz}{E(z) (1+z) H_0}$$

Matter domination:  $E(z) \approx (1+z)^{3/2} \sqrt{\Omega_{m_0}}$

$$t_D = \frac{-1}{\sqrt{\Omega_{m_0}} H_0} \int_{z_D}^{\infty} dz \left( \frac{1}{1+z} \right)^{3/2-1} = \frac{-2}{3 H_0 \sqrt{\Omega_{m_0}}} \left[ \left( \frac{1}{1+z} \right)^{3/2} \right]_{z_D}^{\infty} = \frac{2}{3} \frac{1}{H_0 \sqrt{\Omega_{m_0}}} \frac{1}{(1+z_D)^{3/2}}$$

dalle misure attuali  $\approx 0.55$

# MATERIA OSCURA

$\Omega_B = 0.03$ ,  $\Omega_M = 0.3$ , e il resto? Ad es, neutrini:  $m_\nu \approx 400 \text{ eV}$

$$\Omega_\nu = \frac{\rho_\nu}{\rho_c} = \frac{m_\nu n_\nu}{\rho_c} \approx 0.07 m_\nu [\text{eV}]$$

Imponendo  $\Omega_\nu \approx 0.3$  si ottiene  $m_\nu \approx 5 \text{ eV}$ , ma le misure sperimentali dicono  $m_\nu \ll \text{eV}$ .

Supponiamo che 1 una particella ignota  $X$  mantenuta all'equilibrio dalla reazione:



Allora:

$$\frac{dN_{X+\bar{X}}}{dV dt} = -\langle \sigma_{X\bar{X}} v_{X\bar{X}} \rangle n_X^2 + \langle \sigma_{\bar{X}X} v_{\bar{X}X} \rangle n_{\bar{X}}^2$$

All'equilibrio  $\frac{dN_{X+\bar{X}}}{dV dt} = 0 \Rightarrow \langle \sigma_{X\bar{X}} v_{X\bar{X}} \rangle n_X^2 = \langle \sigma_{\bar{X}X} v_{\bar{X}X} \rangle n_{\bar{X}}^2$

Supponiamo che ad un certo punto  $X$  e  $\bar{X}$  escano dall'equilibrio, mentre  $X$  e  $\bar{X}$  no: allora

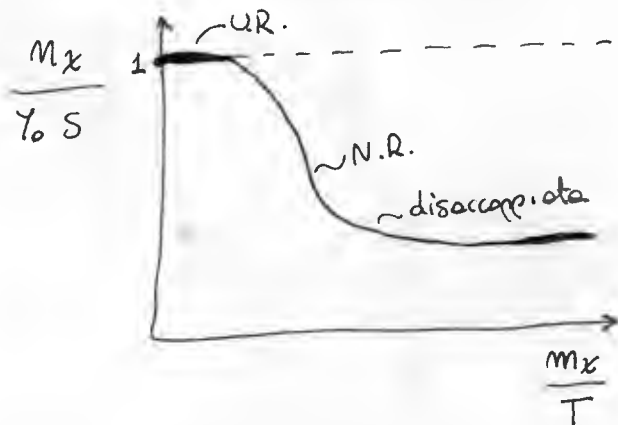
$$\frac{dN_{X\bar{X}}}{dV dt} = -\langle \sigma_{X\bar{X}} v_{X\bar{X}} \rangle n_X^2 + \langle \sigma_{\bar{X}X} v_{\bar{X}X} \rangle n_{\bar{X}}^2 = -\langle \sigma_{X\bar{X}} v_{X\bar{X}} \rangle [n_X^2 - n_{\bar{X}}^2]$$

$$dV \approx a^3$$

$$\frac{1}{a^3} \frac{d}{dt} (n_X a^3) = -\langle \sigma_{X\bar{X}} v_{X\bar{X}} \rangle (n_X^2 - n_{\bar{X}}^2)$$

dove la media è fatta su tutte le particelle  $X$  che possono fare reazioni di questo tipo.

Studiamo l'andamento di:



- $T \rightarrow m_X$  la specie è relativistica  $\Rightarrow n_X \propto T^3$ . Supponiamo che  $S \propto a^3 T^3 \Rightarrow n_X/s \rightarrow \text{costante}$  per  $m_X/T \rightarrow 0$ .

$$\lim_{\frac{m_X}{T} \rightarrow 0} \frac{n_X}{s} \equiv \gamma_0$$

$$\Rightarrow \frac{n_X}{\gamma_0 s} \left( \frac{m_X}{T} = 0 \right) = 1$$

- Quando  $T$  diminuisce  $n_X$  cambia forma e viene esponenzialmente soppressa da  $\exp(-\frac{m_X}{T})$ .
- Ad un certo punto  $X$  esce dall'equilibrio e si disaccoppia  $\Rightarrow n_X^3$  rimane costante:  $\frac{d}{dt} (n_X a^3) \approx 0$

Per i  $\nu$ , che si disaccoppiano quando sono ancora relativistici, la curva rimarrebbe costante.

EQUAZIONE DI BOLTZMANN

$$x \equiv \frac{m_X}{T} \quad y \equiv \frac{n_X}{s} \quad x \frac{dy}{dx} = - \frac{\langle \sigma_{X\bar{X}} v_{X\bar{X}} \rangle n_{Xeq}^2}{H} y_{eq} \left[ \frac{y^2}{y_{eq}^2} - 1 \right]$$

Se la  $X$  che si disaccoppia, a prescindere dalla sua massa, ha una sezione d'urto non esagerata ( $\sim m_x^2$ ),  $x_D =$  valore di  $m_x/T$  per cui  $X$  si disaccoppia dipende solo logicamente da  $m_x \Rightarrow$  posso ragionarci su abbastanza tranquillamente.

$$\Gamma \equiv H \quad \Gamma = n \sigma v \quad H^2 = \frac{8}{3} \pi G \rho$$

• Hot dark matter: si disaccoppia da relativistico (tipo  $\nu$ )

• Cold dark matter: " " non relativistica

Consideriamo la CDM, dato che abbiamo già escluso i  $\nu$ .

$$n \sigma v = \left[ \frac{8}{3} \pi G_i \rho_i \right]^{1/2} \quad n_{np} = g \left( \frac{mT}{2\pi} \right)^{3/2} e^{-\frac{m}{T}}$$

$\rho_i$  dell'universo, non delle  $X$ .

A  $g$  contribuisce solo la materia relativistica:  $g = \frac{\pi^2}{30} T^4 g_{eff}$

$$H = \sqrt{\frac{8}{3} \pi G \rho} = \frac{1,66}{M_p} T^2 \sqrt{g_{eff}} \quad \text{avendo usato } G = \frac{1}{M_p^2}$$

La particella è n.r., voglio esprimere tutto in f. di  $T$ . Per il teorema di equipartizione dell'energia:

$$\frac{1}{2} m v^2 = \frac{3}{2} kT \Rightarrow v = \sqrt{\frac{3kT}{m}}$$

$$\Gamma = H \Rightarrow \sigma g \left( \frac{mT}{2\pi} \right)^{3/2} e^{-\frac{m}{T}} \left( \frac{3kT}{m} \right)^{1/2} = \frac{1,66}{M_p} T^2 \sqrt{g_{eff}}$$

Rettiamo la temperatura in eV  $\Rightarrow kT \equiv T$

$$\sigma m g e^{-\frac{m}{T}} \frac{\sqrt{3}}{(2\pi)^{3/2}} = 1,66 \frac{1}{M_p} \sqrt{g_{eff}}$$

Porto a destra tutto tranne  $e^{-\frac{m}{T}}$  e faccio il logaritmo, ottenendo.

$$\frac{m_x}{T_D} = x_D = \ln \left[ \frac{\sigma m_x g M_p \sqrt{3}}{1,66 (2\pi)^{3/2} \sqrt{g_{eff}}} \right] = \ln [C_2 \cdot \sigma_{xx} m_x]$$

Se l'interazione è debole:  $\sigma_{xx} \sim G_F^2 m_x^2 \Rightarrow x_D = \ln [C_1 \cdot G_F^2 M_p m_x^3]$

Per vari valori di  $m_x$ , usando:

$$M_p = \frac{1}{16} = 10^{18} \text{ GeV}$$

$$G_F \approx 10^{-5} \text{ GeV}^{-2}$$

$$m_x \equiv 1 \text{ GeV} \Rightarrow x_D = 17-18$$

$$m_x \equiv 100 \text{ GeV} \Rightarrow x_D = 27-29$$

Prendiamo quindi un valore approssimativo di  $x_D \approx 25$ . Voglio calcolare la densità attuale

$\rho_{x_0}$  di queste particelle, partendo da quella al momento del disaccoppiamento.

$$\sigma n_D v = \frac{1,66}{M_p} \sqrt{g_{eff}} T_D^2 \quad n_D a_D^3 = n_0 a_0^3 \Rightarrow n_{x_0} = \left( \frac{a_0}{a_D} \right)^3 \frac{1,66}{M_p} \sqrt{g_{eff}} \frac{T_D^2}{\sigma v}$$

$\left( \frac{a_0}{a_D} \right) = \left( \frac{T_D}{T_{CMB}} \right)^{-1}$  Ma  $\gamma$  erano ancora all'equilibrio con le  $t \Rightarrow$  erano alla stessa temperatura - (A meno di un fattore  $2/g$  di quando i  $\gamma$  prendono la  $S$  degli  $e^\pm$ ).

$$n_{x_0} = \frac{1,66 \sqrt{g_{eff}}}{M_p \sigma v T_D} T_{CMB}^3 \quad v = \sqrt{\frac{3T}{m}} \Rightarrow n_{x_0} = \frac{1,66 \sqrt{g_{eff}}^2}{\sqrt{3} g} \frac{1}{M_p \sigma} \frac{T_{CMB}^3}{T_D^{3/2}} \sqrt{m_x}$$

$$\rho_{x_0} = m_x n_{x_0} \Rightarrow \Omega_x = \frac{m_x n_{x_0}}{\rho_c} = \frac{T_{CMB}^3}{M_p \rho_c \sigma} x_D^{3/2}$$

$x_D \approx 25$ ,  $\Omega_x \approx 0.3 \Rightarrow$  ricavo

$$\sigma = 3 \cdot 10^{-36} \text{ cm}^2$$

Se adesso imponiamo  $\sigma = G_F^2 m_x^2$  otteniamo  $m_x \approx 5 \text{ GeV}$ .

Ma non si è ancora vista una particella del genere. Abbiamo usato  $\sigma \sim G_F^2 m^2$  che è vero solo a basse energie. Se usiamo la vera  $\sigma_{\text{weak}}$  del Modello Standard, cioè  $\sigma \propto \frac{g_w^2}{(s + M_W^2)^2}$ , otteniamo  $m_x \approx 2 \text{ TeV}$ .

### RIVELAZIONE MATERIA OSCURA

- Produzione agli acceleratori ( $E_{\text{missing}}$ )
- $X\bar{X} \rightarrow X\bar{X}$  (riv. indiretta)
- Rivelazione diretta: scattering su nucleone.

Le Wimp sono ferme nelle galassia, il sole si muove  $\Rightarrow$  i nostri nucleoni possono andare a sbattere su qualcosa di esse. Siccome  $N_{\text{Terre}} \approx \frac{1}{10} N_{\odot}$  (moto di rivoluzione attorno al sole), ci aspettiamo una modulazione del segnale con periodo 1 anno.



# MATERIA OSCURA

- NO bosoni:  $\eta_B \approx 6 \cdot 10^{-10} \Rightarrow \Omega_B \approx 0.03 \div 0.04$
- NO neutrini:  $n_\nu \sim n_{\nu_0} \Rightarrow 0.3 \approx m_\nu n_{\nu_0} / \rho_0 \Rightarrow m_\nu \approx 5 \text{ eV}$   
ma esperimenti danno  $m_\nu \ll \text{eV}$  e  $\Delta m^2$  molto piccoli
- Supp.  $\exists$   $\chi$  tenuta all'eq. dalla reazione  $\chi \bar{\chi} \leftrightarrow X \bar{X}$ ,  $\chi$  nota:

$$\frac{dN_\chi}{dt dV} = -\Gamma_{\chi\bar{\chi}} + \Gamma_{X\bar{X}} = N_\chi^2 \sigma_{\chi\bar{\chi}} v_\chi - N_X^2 \sigma_{X\bar{X}} v_X$$

$$0 = n_{\chi\text{eq}}^2 \sigma_{\chi\bar{\chi}} v_\chi - n_{X\text{eq}}^2 \sigma_{X\bar{X}} v_X$$

- Supp. che:
  - vale CPT
  - $\chi$  escono dall'eq.
  - $X$  vengono mantenute all'eq. da altre reaz.

$$\Rightarrow \frac{dN_\chi}{dt dV} = \sigma_{\chi\bar{\chi}} v_\chi [n_\chi^2 - n_{\chi\text{eq}}^2]$$

• Sappiamo che

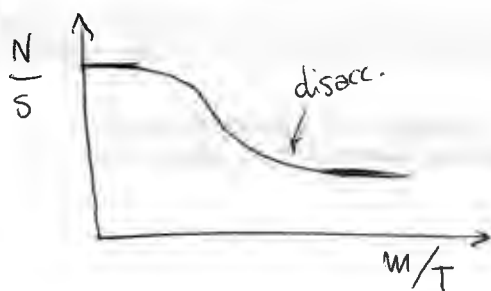
$$n_{NR} \sim e^{-m/T}$$

$$n_{UR} \sim T^3$$

$\Rightarrow$  • all'inizio  $T$  alta  $\Rightarrow \chi$  u.r.  $\Rightarrow N_\chi \sim a^3 T^3$ . Ma anche  $S \sim a^3 T^3 \Rightarrow N/S$  cost.

• dopo  $\chi$  diventano n.r. e il loro numero è soppresso da  $a^3 e^{-m/T}$

• dopo, quando si disaccoppiano,  $N \sim$  costante. Anche  $S$  costante  $\Rightarrow N/S$  costante di nuovo:



È possibile dimostrare che il valore di  $m/T$  per cui  $\chi$  si disaccoppiano dipende solo logicamente da  $m_\chi$ :

$$m_\chi \approx 1 \text{ GeV} \Rightarrow \frac{m_\chi}{T_D} \sim 17$$

$$m_\chi \approx 100 \text{ GeV} \Rightarrow \frac{m_\chi}{T_D} \sim 29$$

Vogliamo calcolare la  $\rho_0$ . Sappiamo che  $n a^3 = \text{cost.} \Rightarrow n_0 = n_D \left(\frac{a_D}{a_0}\right)^3$

Sappiamo che i  $\chi$  erano ancora all'eq. quando i  $\tau$  si sono

disaccoppiati  $\Rightarrow T_D^x = T_D^{\gamma}$  ma per i  $\gamma$  a.T = cost

$$\Rightarrow T_D^x = T_{D0} \frac{a_0}{a} \Rightarrow n_{x_0} = n_{x_D} \left( \frac{T_{D0}}{T_{x_D}} \right)^3$$

Al disaccoppiamento i  $x$  erano non rel.  $\Rightarrow n_{x_D} \sim \left( \frac{m_x T_D}{2\pi} \right)^{3/2} e^{-m_x/T_D}$   
 Ma sappiamo che il disaccoppiamento è dato da  $\Gamma = H$ , ovvero

$$n_{x_D} \sigma_x v_x = \frac{1.66}{M_p} \sqrt{g_{eff}} T_D^2 \Rightarrow n_{x_D} = \frac{1.66 \sqrt{g_{eff}}}{M_p} T_D^2 \frac{1}{\sigma_x v_x}$$

$$v_x = \sqrt{\frac{3T}{m_x}} \Rightarrow n_{x_D} = \text{cost.} \frac{T^2}{\sigma_x} \sqrt{\frac{m_x}{3T_D}}$$

$$n_{x_0} = \frac{1.66 \sqrt{g_{eff}}}{M_p} \frac{T_D^2}{\sigma_x} \frac{\sqrt{m_x}}{\sqrt{3T_D}} \frac{T_{cmb}^3}{T_D^3}$$

$$f_{x_0} = \frac{1.66 \sqrt{g_{eff}}}{M_p \sqrt{3}} \left[ \frac{m_x^{3/2}}{T_D^{3/2}} \right] \frac{T_{cmb}^3}{\sigma_x}$$

Se ora pongo un valore ragionevole di  $M_x/T_D \cong 25$  ottengo:

$$\frac{f_{x_0}}{f_e} \cong 0.3 \Rightarrow \frac{1.66 \sqrt{g_{eff}}}{f_e M_p \sqrt{3}} 25^{3/2} \frac{T_{cmb}^3}{\sigma_x} = 0.3$$

$$M_p \sim 10^{18} \text{ GeV} \\ \sim 10^{27} \text{ eV}$$

$$\sigma_x = 0.3 \frac{f_e M_p \sqrt{3}}{1.66 \sqrt{g_{eff}}} \frac{1}{25^{3/2}} \frac{1}{T_{cmb}^3}$$

$$g_{eff} = \left[ \frac{7}{8} \cdot 4 + \frac{7}{8} \cdot 6^3 + 2 \right] \cdot 2 = 7 + \frac{7}{2} + 2 = \frac{14+7+4}{2} \approx 12.5$$

$$\sqrt{g_{eff}} \sim 3.5 \quad 25^{3/2} = 125$$

$$\sigma_x = \frac{0.3 \cdot 10^{-29} \cdot 10^{27} \sqrt{3}}{1.66 \cdot 3.5 \cdot 125 \cdot 10^2 (2.7 \cdot 8.6 \cdot 10^{-5})^3} \frac{g}{\text{cm}^3} \frac{\text{eV}}{\text{eV}^3}$$

## EQUAZIONI DI FRIEDMANN

$$H^2 = \left(\frac{\dot{a}}{a}\right)^2 = \frac{8\pi G \rho}{3} + \frac{\Lambda}{3} - \frac{\kappa}{a^2} \quad (1)$$

$$H^2 = \left(\frac{\dot{a}}{a}\right)^2 = -8\pi G p + \Lambda - \frac{\kappa}{a^2} - 2\frac{\ddot{a}}{a} \quad (2)$$

$$\frac{d}{dt}(\rho a^3) = -p \frac{d}{dt}(a^3) \quad (\text{eq. di cont.})$$

In una diversa formulazione:

$$4\pi G(\rho + 3p) = -3\frac{\ddot{a}}{a} \quad (3)$$

$$4\pi G(\rho - p) = 2\kappa + 2\dot{a}^2 + a\ddot{a} \quad (4)$$

$$(*) \quad \left(\text{con } \rho = \rho + \frac{\Lambda}{8\pi G}, p = p - \frac{\Lambda}{8\pi G}\right)$$

Equazione di stato:  $p = \alpha \rho$

$$\frac{d}{dt}(\rho a^3) = -\alpha \rho \frac{d}{dt}(a^3) \Rightarrow \frac{d\rho}{dt} a^3 + 3a^2 \rho \frac{da}{dt} = -3\alpha \rho a^2 \frac{da}{dt}$$

$$\frac{d\rho}{dt} a^3 = -(3\rho + 3\alpha \rho) a^2 \frac{da}{dt}$$

$$\frac{d\rho}{\rho} = -3(\alpha + 1) \frac{da}{a}$$

$$\int \frac{1}{\rho} d\rho = -3(\alpha + 1) \int \frac{1}{a} da$$

$$\ln \rho = -3(\alpha + 1) \ln a$$

$$\rho = \kappa a^{-3(\alpha + 1)} \quad (5)$$

Dalla (2) e dalla (5) otteniamo anche  $a \propto t^\beta$  con  $\beta = \frac{2}{3(\alpha + 1)}$ .

Dallo studio di  $T_{\mu\nu}$  a basse energie:

Matter domination  $\Rightarrow p = 0, \alpha = 0, \rho \sim a^{-3}, a \sim t^{2/3}$

Ad alte energie:

radiation domination  $\Rightarrow p = \frac{1}{3}\rho, \alpha = \frac{1}{3}, \rho \sim a^{-4}, a \sim \sqrt{t}$

Dalle (\*) vediamo che:

$\Lambda$ -domination:  $p = -\rho, \alpha = -1, \rho = \frac{\Lambda}{8\pi G}$ , da (3):

$$\frac{3\ddot{a}}{a} = 4\pi G \left(\frac{\Lambda}{8\pi G}\right) \Rightarrow \frac{\ddot{a}}{a} = \frac{\Lambda}{3} \Rightarrow \underline{a \sim e^{\sqrt{\Lambda/3} t}}$$

Dalla (1).  $H^2 = 8\pi G \rho + \frac{1}{3} - \frac{k}{a^2} \Rightarrow 1 = \frac{8\pi G \rho}{3H^2} + \frac{1}{3H^2} - \frac{k}{H^2 a^2}$

Def:  $\frac{3H^2}{8\pi G} \equiv \rho_c \quad \Omega_M \equiv \frac{\rho}{\rho_c} \quad \Omega_\Lambda = \frac{1}{3H^2} \quad \Omega_k = -\frac{k}{H^2 a^2}$

$\Rightarrow 1 = \Omega_M + \Omega_\Lambda + \Omega_k$

matter domination  $\Rightarrow \rho \sim a^{-3}$

Utilizziamo i parametri attuali:

$\frac{\Omega_M}{\Omega_{M0}} = \frac{a_0^3 H_0^2}{a^3 H^2} \quad \frac{\Omega_\Lambda}{\Omega_{\Lambda0}} = \frac{H_0^2}{H^2} \quad \frac{\Omega_k}{\Omega_{k0}} = \frac{H_0^2 a_0^2}{H^2 a^2}$

$1 = \frac{a_0^3 H_0^2}{a^3 H^2} \Omega_{M0} + \frac{H_0^2}{H^2} \Omega_{\Lambda0} + \frac{H_0^2 a_0^2}{H^2 a^2} \Omega_{k0}$

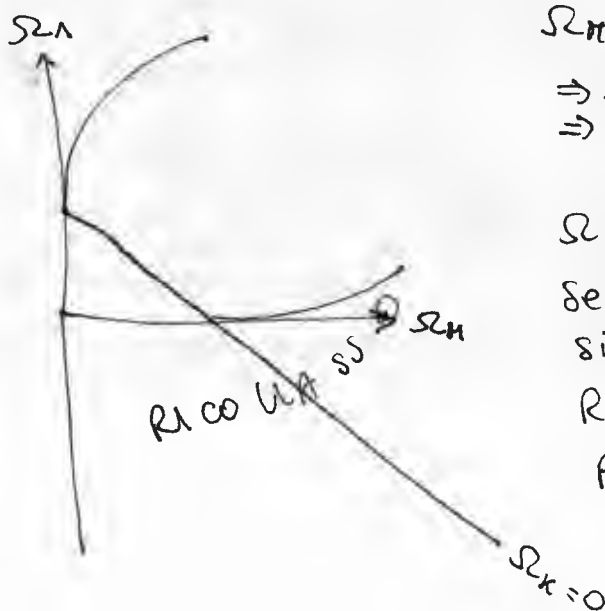
$H^2 = H_0^2 \left[ \frac{a_0^3}{a^3} \Omega_{M0} + \Omega_{\Lambda0} + \frac{a_0^2}{a^2} (1 - \Omega_{M0} - \Omega_{\Lambda0}) \right]$

Def.:  $\frac{a}{a_0} \equiv R \Rightarrow \frac{\dot{a}}{a_0} = \dot{R}$

$H^2 = \left(\frac{\dot{a}}{a}\right)^2 \left(\frac{a_0}{a}\right)^2 = \frac{\dot{R}^2}{R^2} = H_0^2 \left[ R^3 \Omega_{M0} + \Omega_{\Lambda0} + R^2 (1 - \Omega_{M0} - \Omega_{\Lambda0}) \right]$

$\dot{R}^2 = H_0^2 \left[ \Omega_{M0} \left(\frac{1}{R} - 1\right) + \Omega_{\Lambda0} (R^2 - 1) + 1 \right]$

Dalla (1) - se  $a \rightarrow \infty \quad H^2 \rightarrow \frac{1}{3} \Rightarrow 1 > 0$ . Se, per contro,  $1 < 0$ ,  $a$  non può aumentare indefinita mente  $\Rightarrow$  ricollasso.



$\Omega_M$  grande,  $\Omega_{\Lambda0} \ll 1$

$\Rightarrow$  se  $R$  cresce molto  $\frac{\dot{R}^2}{H_0^2} < 0$  ASSURDO  
 $\Rightarrow$  ricollasso

$\Omega_\Lambda$  grande,  $\Omega_M \ll 1$

Se  $R$  diminuisce fino ad  $R^2 < 1$   
 si ha  $\frac{\dot{R}^2}{H_0^2} < 0 \Rightarrow$  assurdo  $\Rightarrow$

$R$  non può essere stato infinitamente piccolo  $\Rightarrow$  No big bang.

## DISACCOPIAMENTO $\nu$

$$\Gamma = H \quad H = \sqrt{\frac{8}{3}\pi G \rho} \quad \text{a piccole } \rho \text{ domina la materia v.r.} \Rightarrow \rho \sim T^4$$

$$\Gamma = M \nu \sigma \sim T^3 G_F^2 T^2 \sim G_F^2 T^5$$

Come ord. di  $g$ :  $\sqrt{G} T^2 = G_F^2 T^5 \Rightarrow T_D^3 = \frac{\sqrt{G}}{G_F^2} \quad \left( \begin{array}{l} \sqrt{G} = \frac{1}{M_P} = \frac{1}{10^{18} \text{ GeV}} \\ G_F = 10^{-5} \text{ GeV}^{-2} \end{array} \right)$

$$\Rightarrow T_D \sim 1 \text{ MeV} \Rightarrow t_D \sim 1 \text{ sec}$$

## DISACCOPIAMENTO $\gamma$

- (1)  $\gamma e^- \leftrightarrow \gamma e^-$   
(2)  $e^- p \rightarrow H + \gamma$  } a temp.  $\sim \text{eV}$  -  
(più altri proc. con  $\sigma$  piccole)

La (2) diminuisce la frazione di  $e^-$  liberi  $\Rightarrow$  rallenta la 1 -  
A queste  $T$  solo i  $\gamma$  sono relativistici -

$$n_i \sim g_i \left(\frac{m_i T}{2\pi}\right)^{3/2} e^{-m_i/T}$$

Voglio calc. la frazione di  $e^-$  liberi  $x_e = \frac{n_e}{n_e + n_H}$  - 2 modi

semplice:  $\frac{n_e}{n_e + n_H} = \frac{n_p}{n_p + n_H} = \frac{n_p}{n_B} \cdot \frac{n_Y}{n_Y} = \frac{n_p}{n_Y} \eta_B = n_p \eta_B \frac{1}{n_{\gamma 0}} \frac{2^3}{2^3} = \frac{n_p}{n_{\gamma 0}} \eta_B (1+z)^3$

difficile: calc.  $\frac{n_H}{n_e n_p} \rightarrow$  calc.  $\frac{1-x_e}{x_e^2} \dots$

$$H \sim H_0 \sqrt{(1+z)^3 \Omega_{\pi 0}}$$

$$n_e \sim x_e n_B n_Y \sim x_e(z) (1+z)^3$$

In cui le due frazioni di  $z \Rightarrow$  trovo  $z \sim 1100$  -

Se  $\Omega_{\pi 0} \sim 1$   $t(z) = \int_z^0 \frac{dt}{(1+z) H_0 E(z)} \sim \frac{1}{H_0} \int_z^0 \frac{dz}{z(1+z)^3} \sim 10^9 \text{ anni}$